



Roma, 9-12 novembre 2017

# Minicorso 5



12 novembre 2017 ore 10.15 – 12.15

## **Neoplasie neuroendocrine gastro-entero-pancreatiche (GEP-NEN): la risposta al trattamento ed il follow-up**

**Maria Vittoria Davì, Matteo del Pin, Nicola Fazio, Angelina Filice,  
Franco Grimaldi, Francesca Spada**



Roma, 9-12 novembre 2017

## Franco Grimaldi: conflitti di interesse



Ai sensi dell'art. 3.3 sul conflitto di interessi, pag.17 del Regolamento Applicativo Stato-Regioni del 05/11/2009, dichiaro che negli ultimi 2 anni ho avuto rapporti diretti di finanziamento con i seguenti soggetti portatori di interessi commerciali in campo sanitario:

- Ipsen
- Novartis
- Italfarmaco



Roma, 9-12 novembre 2017

# Conflitti di interesse



Ai sensi dell'art. 3.3 sul conflitto di interessi, pag.17 del Regolamento Applicativo Stato-Regioni del 05/11/2009, il sottoscritto **dr. Nicola Fazio** dichiaro che negli ultimi 2 anni non ho avuto rapporti diretti di finanziamento con soggetti portatori di interessi commerciali in campo sanitario.

Novartis

Ipsen

Pfizer

AAA



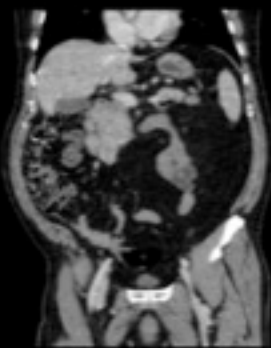
Roma, 9-12 novembre 2017

# Caso clinico 1



Dragan, maschio, 59 anni

- Voluminoso pNEN, apparentemente non secernente, di recente riscontro TC (febbraio u.s.) in seguito a comparsa di lombalgia acuta.



... a livello della testa pancreatico-processo uncinato si apprezza lesione solida a contorni polilobati e margini netti, con intenso e disomogeneo enhancement di 66x50x68 mm ... a livello epatico sono presenti 2 lesioni sospette per secondarietà delle dimensioni di 10 e 5 mm.





Roma, 9-12 novembre 2017

# Caso clinico 1



Esame	Risultato	Intervallo di normalità
Cromogranina A	36 ng/ml	0 - 108
NSE	14,2 ng/ml	0,3 - 12
Glicemia	100 mg/dl	76-110
Calcio	10,6 mg/dl	8,4-10,7
Fosforo	2,3 mg/dl	2,4 – 4,5
PTH	80,7 pg/ml	11,1 - 79
IGF1	180 ng/ml	45 - 213
PRL	178,6 mUI/L	53 - 369
Cortisol	397 nMol/L	150 - 650
TSH	1,9 microlU/ml	0,350 – 5,0
5-HIAA urinario	19 microMol/24 h	11 - 37



Roma, 9-12 novembre 2017

# Caso clinico 1



ITALIAN CHAPTER

## Esegue visita chirurgica: ricovero in Day Hospital

### Ecoendoscopia (6/4/2017):

... a livello del processo uncinato esteso sino alla testa in regione retropapillare di grossolana neoformazione ovalare e lobulata ad ecostruttura debolmente iperecogena, con areole ipoanecogene centrali e margini regolari, di circa 65 mm. La lesione appare notevolmente vascolarizzata; all'elastografia presenta pattern hard in periferia, più soft nella porzione centrale.

**Conclusioni:** Lesione solida del processo uncinato del pancreas di 65 mm di dimensioni con aspetto ecografico compatibile in primis con NEN, anche se non può essere escluso altro (tumore pseudopapillare solido, linfoma). In attesa di conferma citologica.

**Reperto citologico** di **neoplasia neuroendocrina ben differenziata** con positività immunoistochimica per sinaptofisina, cromogranina, CD56, CK-MNF116 (negativi, CD 45 ed NSE).

**Indice proliferativo (Ki67) <1%.**



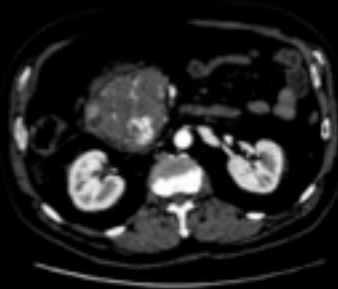
Roma, 9-12 novembre 2017

# Caso clinico 1



ITALIAN CHAPTER

A



## TC addome mdc (10/4/2017):

Complicanza della procedura: sanguinamento post Ecoendoscopia, viene eseguita embolizzazione

A



Scansite

TeraRecon

P

10mm/ctv

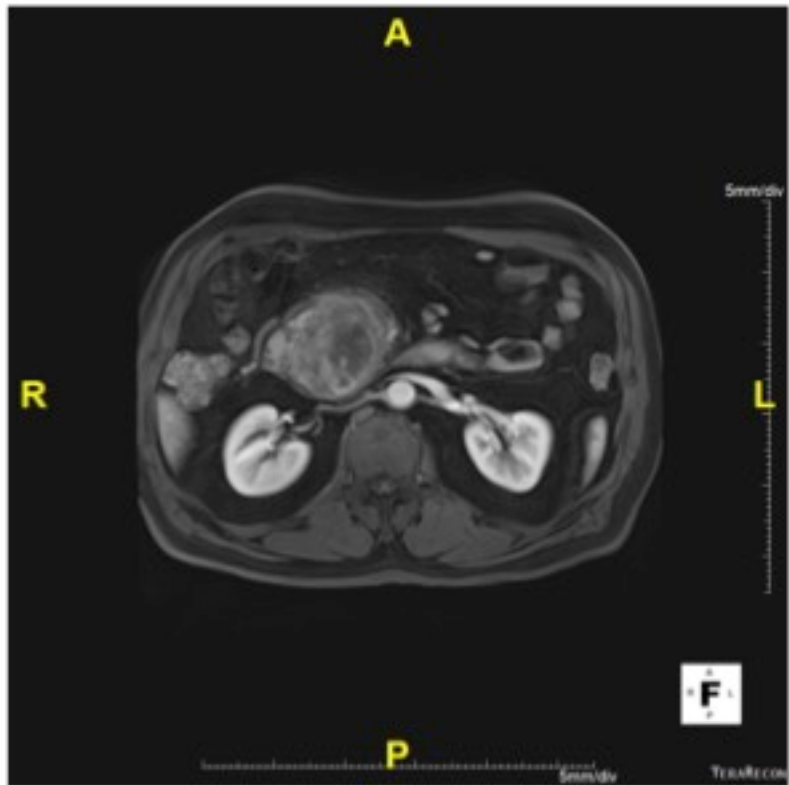


TeraRecon



Roma, 9-12 novembre 2017

# Caso clinico 1



## RMN addome mdc (8/5/2017):

Iniziale riassorbimento dell'ematoma.  
... medialmente la vena mesenterica superiore nel suo tratto distale permane non riconoscibile, come da sua possibile trombosi.

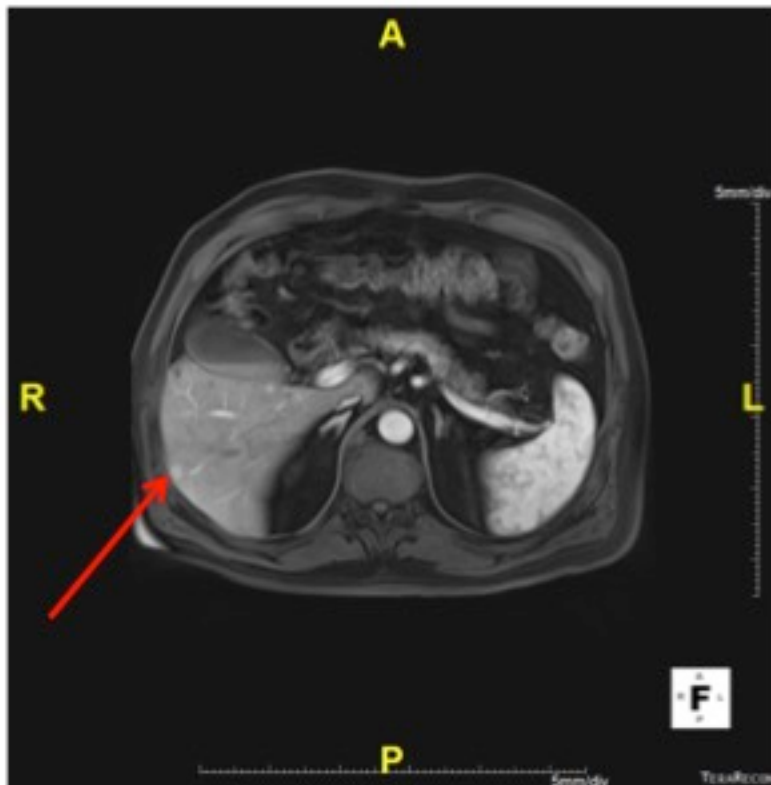
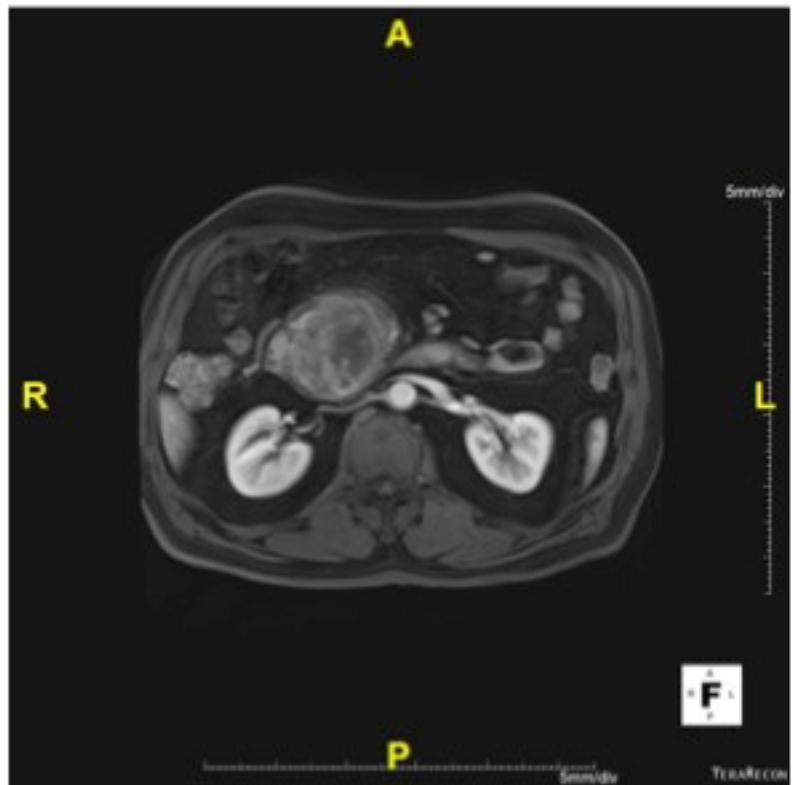


# Caso clinico 1



ITALIAN CHAPTER

Roma, 9-12 novembre 2017





Roma, 9-12 novembre 2017

## Giugno 2017: viene inviata in consulenza endocrinologica: NEN pancreatico NF



### The initial characterization of a patient with NEN should be based on information concerning the disease status:

- The pathologic report is histology, grading (identifies both tumor morphology and proliferation rate).
- Tumor extension according to morphologic and functional imaging, hormone secretion
- Integrated with information on his/her performance status, comorbidities, recent clinical evolution, social role, and beliefs.

Italian Association of Clinical Endocrinologists (AME) and Italian AACE Chapter Position Statement for Clinical Practice: Assessment of Response to Treatment and Follow-Up in Gastroenteropancreatic Neuroendocrine Neoplasms

F. Grimaldi, N. Fazio, et al 2017 submitted



Roma, 9-12 novembre 2017

# NEN pancreatico NF



## Quale imaging:

- Ecografia addome, CEUS, CT, RMN
- PET-TC Gallio 68, PET-TC 18-FDG?





# Il ruolo del radiologo



Roma, 9-12 novembre 2017

ITALIAN CHAPTER

**La TC con MdC, con studio trifasico dell'addome superiore costituisce metodica imaging di base per i NET nella diagnosi, staging, sorveglianza e monitoraggio della terapia.**

**Table 1.** CT diagnosis of NETs

Type of NET	Mean sensitivity	Mean specificity	Mean detection rate	Patients/studies	Ref.
NET disease	82 (77–85)	86 (71–85)		253/4	3–6
Pancreatic NET	82 (67–96)	96		119/2	10–11
Liver metastases			79 (73–94)	79/3	7–9
	84 (75–100)	92 (83–100)		342/5	3, 12–15
Extrahepatic abdominal soft tissue metastases	70 (60–100)	96 (87–100)		451/6	3, 12–15, 17
Bone metastases	61 (46–80)	99 (98–100)		337/3	3, 18, 19
CT enteroclysis for small intestinal NETs	50	25		8/1	20
	85	97		219/1*	21

Data in the literature on the sensitivity, specificity and detection rate for NET diagnosis by CT. Figures are percentages with ranges in parentheses unless indicated otherwise. \* Out of 219 patients included in the study, there were 19 subjects with small intestinal NETs.



# Il ruolo del radiologo

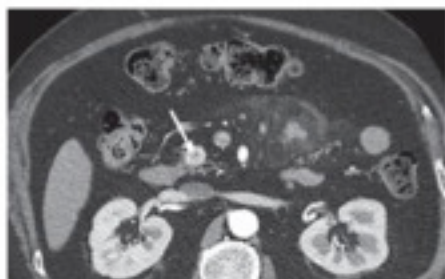


ITALIAN CHAPTER

Roma, 9-12 novembre 2017

In TC i pNET funzionanti come l'insulinoma ed i pNET non funzionanti scoperti casualmente sono spesso piccoli e ben delimitati, in genere appaiono ben visibili ed ipervascolari nella fase arteriosa tardiva.

Gli altri pNET (gastrinoma, VIPoma, glucagonoma) e pNET non funzionanti solo in genere più grandi, con calcificazioni e con vascolarizzazione disomogenea (anche con aree di necrosi)



La TC inoltre permette di identificare la posizione del tumore rispetto al dotto pancreatico (MRCP?) e l'encasement vascolare, permette di valutare i linfonodi e le eventuali metastasi a distanza (soprattutto epatiche)



Roma, 9-12 novembre 2017

# Il ruolo del radiologo



ITALIAN CHAPTER

La RM è superiore alla TC nel visualizzare le metastasi epatiche (MdC epatospecifico e DWI), metastasi cerebrali, ossee e nel visualizzare i tumori pancreatici (specie ipovascolari).

**Table 2.** MRI diagnosis of NETs

Type of NET	Mean sensitivity	Mean specificity	Mean detection rate	Patients/studies	Ref.
Gastrinoma	70			122/1	28
Pancreatic NET	79 (54–100)	100	76 (61–95)	258/7	11, 29–34
Liver metastases	75 (70–80)	98		200/2	40, 41
Carcinomatosis			88 (81–91)	72/2	42, 43

Data in the literature on the sensitivity, specificity and detection rate for NET diagnosis by MRI. Figures are percentages with ranges in parentheses unless indicated otherwise.

Neuroendocrinology DOI: 10.1159/000458155

Neuroendocrinology DOI: 10.1159/000471879

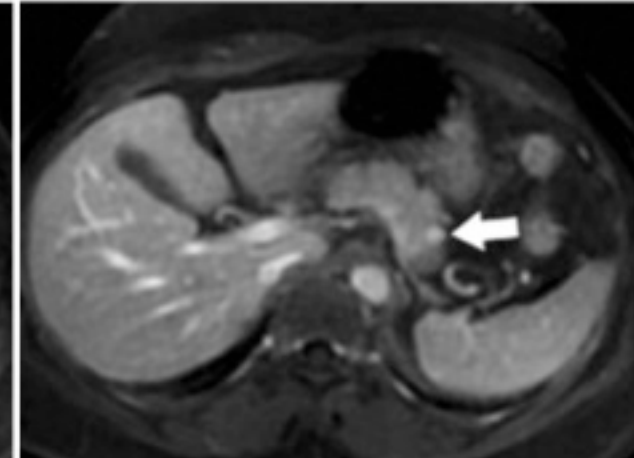
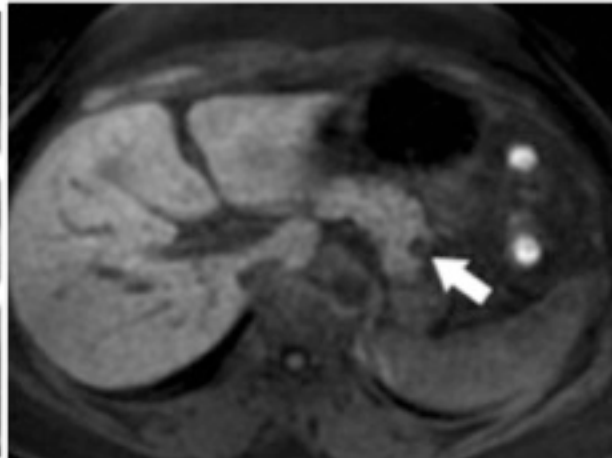


Roma, 9-12 novembre 2017

# Il ruolo del radiologo



La RM è superiore nel visualizzare le metastasi epatiche (MdC epatospecifico e DWI), metastasi cerebrali, ossee e nel visualizzare i tumori pancreatici (specie ipovascolari).





# Il ruolo del radiologo



ITALIAN CHAPTER

Roma, 9-12 novembre 2017

**L'ecografia transaddominale ha bassa sensibilità nell'individuare le lesioni pancreatiche (CEUS?), ma visualizza le aree di reazione desmoplastica addominale, non sempre visualizza tutto il fegato. Utile a volte come problem solving o come guida per procedure interventistiche**

**Table 3.** US, EUS, IOUS and CEUS diagnosis of NETs

Type of NET and US method	Mean sensitivity	Mean specificity	Mean detection rate	Patients/studies	Ref.
pNETs					
US			39 (17–76)	250/6	61–66
EUS			86 (75–97)	220/9	9, 62, 63, 66, 70–74
IOUS	86 (82–93)	92 (86–95)	92 (74–96)	149/3	67–69
Insulinoma				127/4	64, 66, 75, 76
EUS			86 (57–100)	250/12	63, 64, 72, 77–85
IOUS			92 (84–100)	264/9	66, 75, 76, 86–91
Duodenal tumors and lymph node metastases					
US			18	25/1	66
EUS			63	59/2	66
Liver metastases					72
US	88	95		131/1	12
CEUS	82			48/1	92

Data in the literature on the sensitivity, specificity and detection rate for NET diagnosis by US, EUS, IOUS and CEUS. Figures are percentages with ranges in parentheses unless indicated otherwise. US, ultrasonography; EUS, endoscopic ultrasonography; IOUS, intraoperative ultrasonography; CEUS, contrast-enhanced ultrasonography.



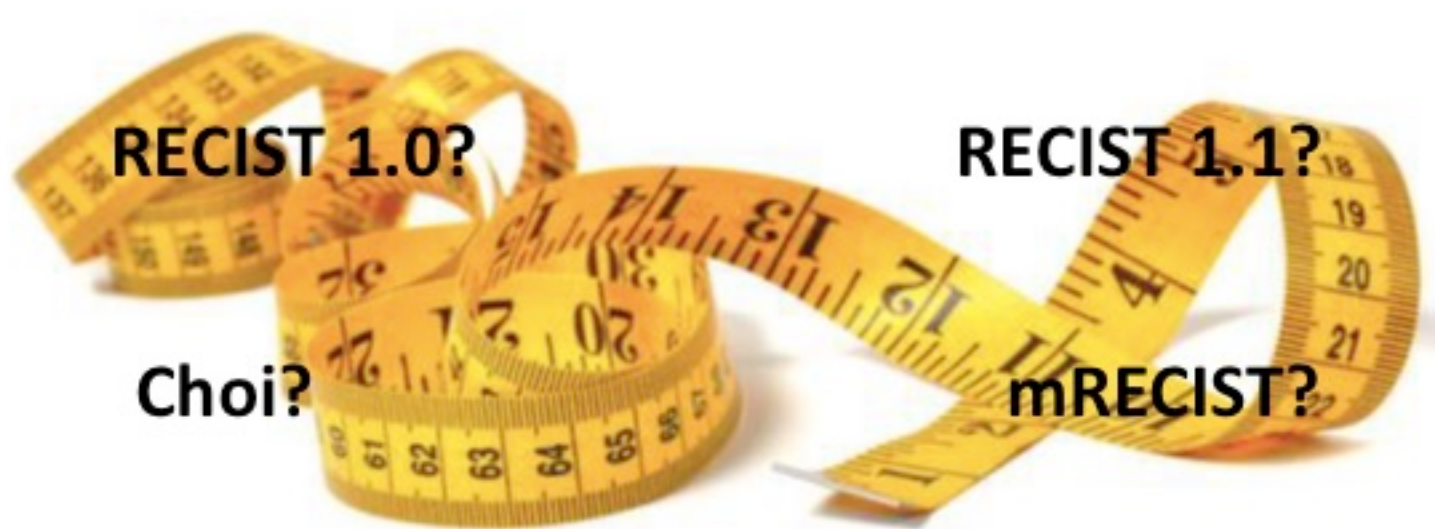
Roma, 9-12 novembre 2017

# Il ruolo del radiologo



ITALIAN CHAPTER

## Ma cosa e come misurare?





Roma, 9-12 novembre 2017

# Il ruolo del radiologo



ITALIAN CHAPTER

## Cosa e come misurare?

**Table 4**  
**Comparison between RECIST 1.0 and RECIST 1.1.**

	<b>RECIST 1.0</b>	<b>RECIST 1.1</b>
Tumor burden	10 targets (5 per organ)	5 targets (2 per organ)
Lymph nodes	Measure like any other lesion	Measure short axis Define normal size
PD definition	20% increase in SLD	20% increase in SLD 5 mm in absolute increase
No measurable PD	Unequivocal	More details and examples
Functional imaging	Not included	FDG-PET considered in the evaluation of new lesions



Roma, 9-12 novembre 2017

# Il ruolo del radiologo



ITALIAN CHAPTER

## Cosa e come misurare?

Table 5  
Modified Choi criteria.

Response	Definition
CR	Disappearance of all lesions, no new lesions
PR	A decrease in size $\geq 10\%$ and a decrease in tumor attenuation (HU) $\geq 15\%$ on CT, no new lesions, no obvious progression of non-measurable disease
SD	Does not meet criteria for CR, PR, or PD; No symptomatic deterioration attributed to tumor progression
PD	An increase in tumor size $\geq 10\%$ and does not meet criteria of PR by tumor attenuation; new lesions



Roma, 9-12 novembre 2017

# Il ruolo del radiologo



ITALIAN CHAPTER

## Cosa e come misurare?

Table 6  
mRECIST criteria.

Response	Definition
CR	Disappearance of any intratumor arterial enhancement in all target lesions
PR	At least a 30% decrease in the sum of diameters of viable (enhancement in the arterial phase) target lesions, taking as reference the baseline sum of the diameters of target lesions
SD	Any cases that do not qualify for either PR or PD
PD	An increase of at least 20% in the sum of the diameters of viable (enhancing) target lesions, taking as reference the smallest sum of the diameters of viable (enhancing) target lesions recorded since treatment started



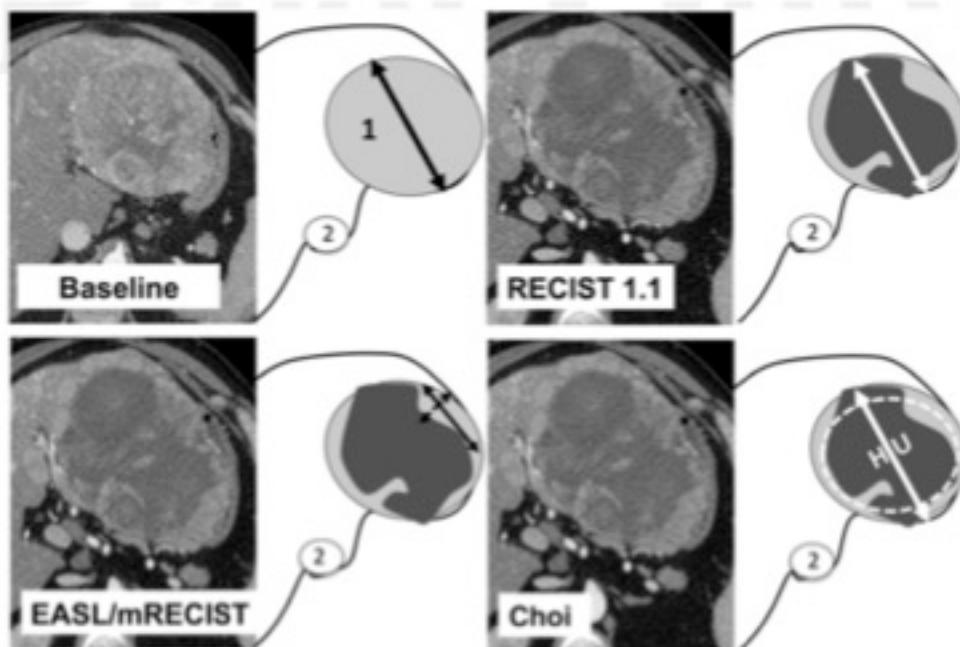
# Il ruolo del radiologo



Roma, 9-12 novembre 2017

ITALIAN CHAPTER

## Cosa e come misurare?





Roma, 9-12 novembre 2017

# Il ruolo del radiologo



ITALIAN CHAPTER

J. Endocrinol. Invest., 2014, 37, 875-909

La radiologia inoltre ha ruolo chiave nella  
gestione dei PZ sintomatici



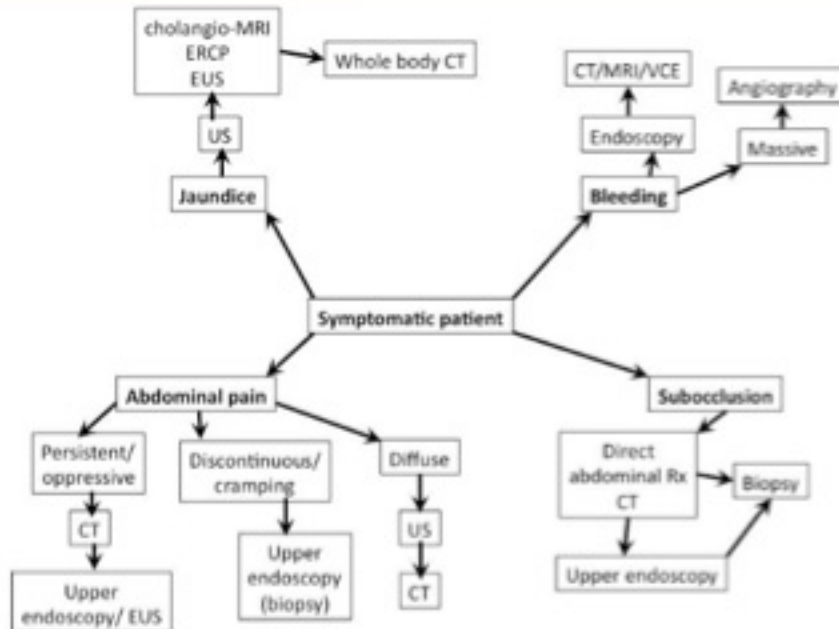


# Il ruolo del radiologo



ITALIAN CHAPTER

Roma, 9-12 novembre 2017



**Figure 1**  
Selection of imaging modalities according to the type of symptoms



Roma, 9-12 novembre 2017

# Conflitti di interesse



Ai sensi dell'art. 3.3 sul conflitto di interessi, pag.17 del Regolamento Applicativo Stato-Regioni del 05/11/2009, la sottoscritta **dr.ssa Angelina Filice** dichiaro che negli ultimi 2 anni ho avuto rapporti diretti di finanziamento con i seguenti soggetti portatori di interessi commerciali in campo sanitario:

**Commento del medico nucleare (Dott.ssa Angelina Filice)**



Roma, 9-12 novembre 2017

# Imaging medico-nucleare Presupposti fisiopatologici



Densità di Espressione del SST-R2  
nei Tumori GEP e Sensibilità  
dell'imaging con analoghi della  
somatostatina marcati



Gastrinoma	90-95%
Carcinoide	85-95%
VIP-oma	80-90%
Non-funzionanti	75-85%
Glucagonoma	70-80%
Insulinoma	50-60%



# Metodiche

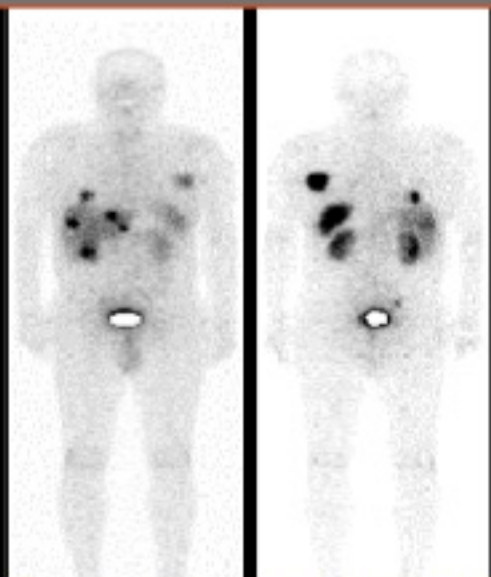


ITALIAN CHAPTER

Roma, 9-12 novembre 2017

## Scintigrafia, SPECT, SPECT/CT

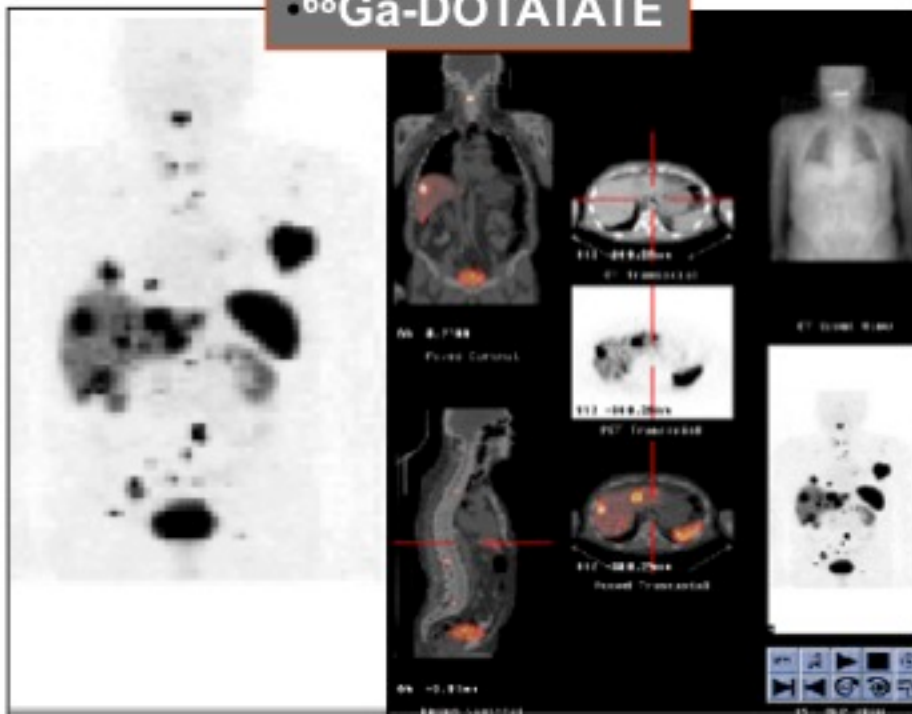
- $^{111}\text{In}$ -Octreoscan



Tumore neuroendocrino del tratto  
gastroenteropancreatico metastatico

## PET/CT

- $^{68}\text{Ga}$ -DOTATOC
- $^{68}\text{Ga}$ -DOTANOC
- $^{68}\text{Ga}$ -DOTATATE





Roma, 9-12 novembre 2017

- Primary tumor localization and staging
- Restaging (detection of residual, recurrent or progressive disease)
- SSTR status evaluation (patients with high positivity are more likely to respond to octreotide therapy)
- Response to therapy monitoring
- Selection of patients for peptide receptor radionuclide therapy (PRRT)

Bombardieri E Eur J Nucl Med 2010  
Virgolini I Eur J Nucl Med 2010



Roma, 9-12 novembre 2017

Neuro  
endocrinology

## ENETS Consensus Guidelines

Neuroendocrinology 2016;103:153–171  
DOI: 10.1159/000443171

Published online: January 5, 2016



ITALIAN CHAPTER

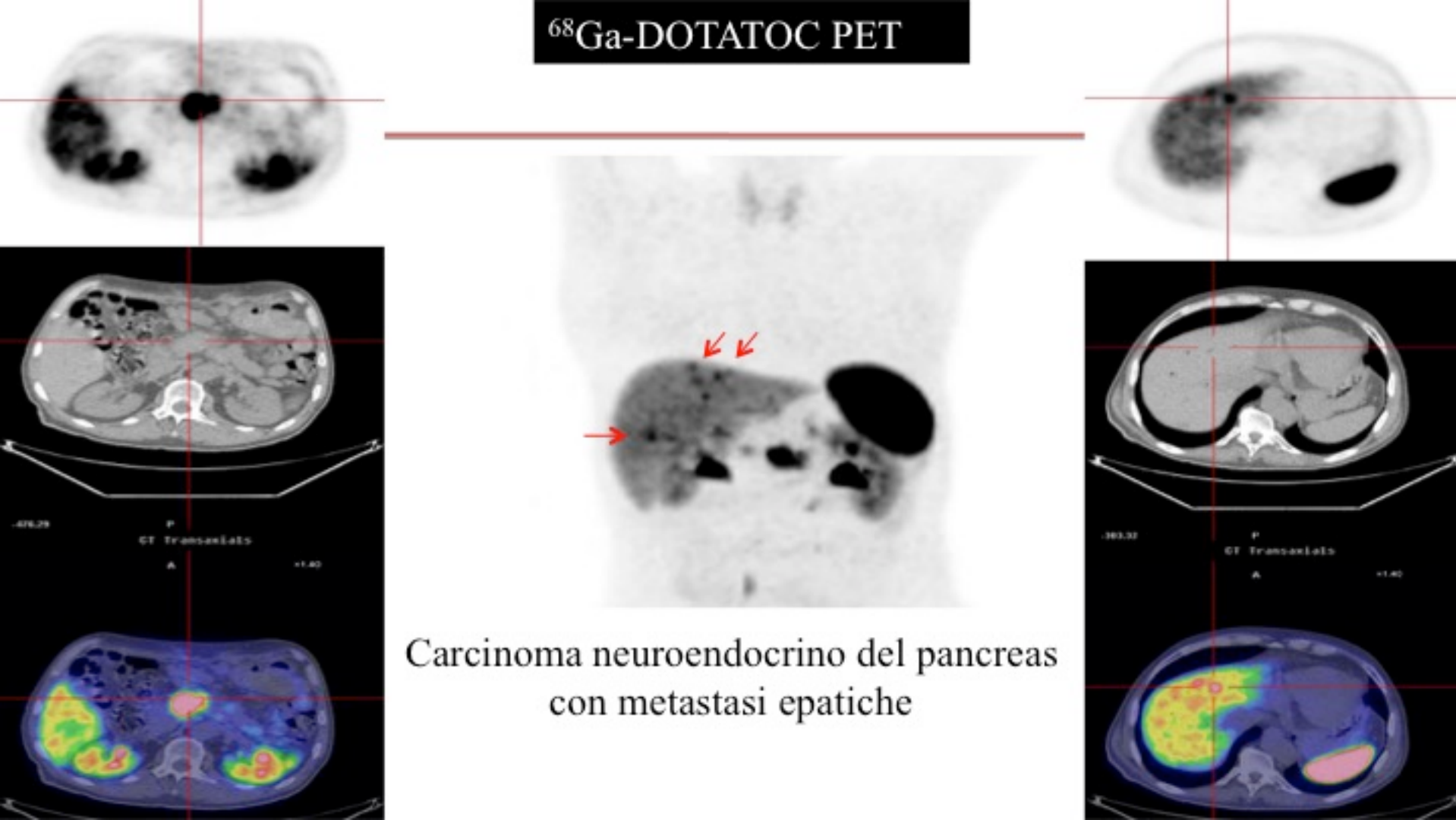
# ENETS Consensus Guidelines Update for the Management of Patients with Functional Pancreatic Neuroendocrine Tumors and Non-Functional Pancreatic Neuroendocrine Tumors

M. Falconi<sup>a</sup> B. Eriksson<sup>b</sup> G. Kaltsas<sup>c</sup> D.K. Bartsch<sup>d</sup> J. Capdevila<sup>e</sup> M. Caplin<sup>f</sup>  
B. Kos-Kudla<sup>g</sup> D. Kwekkeboom<sup>h</sup> G. Rindi<sup>i</sup> G. Klöppel<sup>j</sup> N. Reed<sup>k</sup> R. Kianmanesh<sup>l</sup>  
R.T. Jensen<sup>m</sup> all other Vienna Consensus Conference participants

While somatostatin receptor scintigraphy (SRS) with SPECT remains useful in staging P-NETs, numerous studies have demonstrated that imaging with positron emission tomography with CT (PET/CT) with <sup>68</sup>Ga-labeled somatostatin analogues has the highest sensitivity for localizing P-NETs, as well as generally for other NETs, and also has a high specificity. In various studies on P-NETs, the sensitivity varied from 86 to 100% and the specificity from 79 to 100% for all P-NETs [80–89], except

insulinomas, in which case the sensitivity was only 25% [90]. The consequence of these findings is that PET/CT is now the method of choice to fully stage and localize the extent of disease in patients with non-insulinoma P-NETs [83, 91]. <sup>68</sup>Ga-labeled somatostatin analogues have been shown to change the management (surgical, medical, staging) in 20–55% of all patients [87, 88, 92, 93] and, therefore, they should generally be used in patients with non-insulinoma P-NETs.

<sup>68</sup>Ga-DOTATOC PET



Carcinoma neuroendocrino del pancreas  
con metastasi epatiche

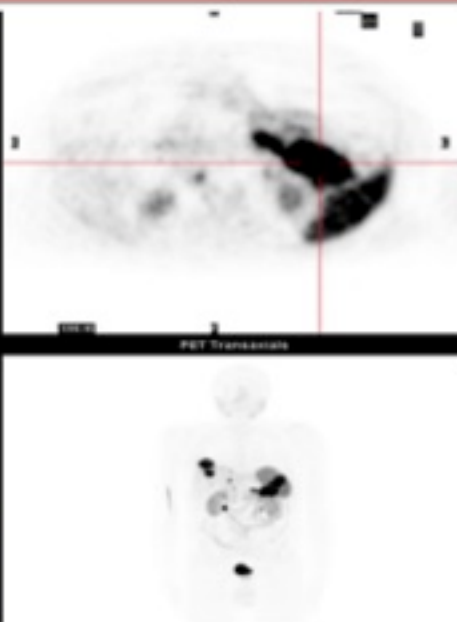
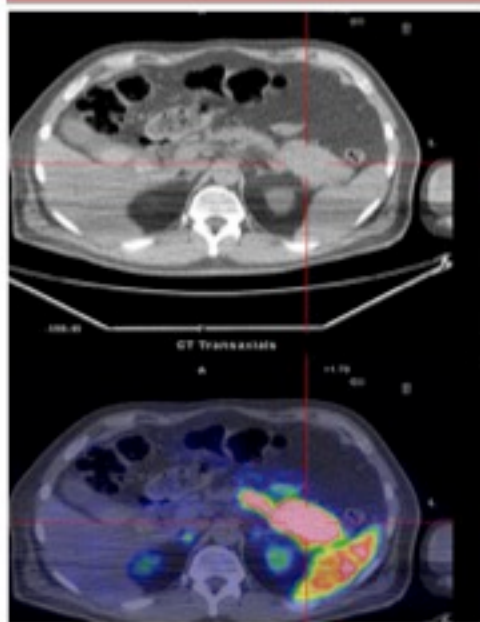
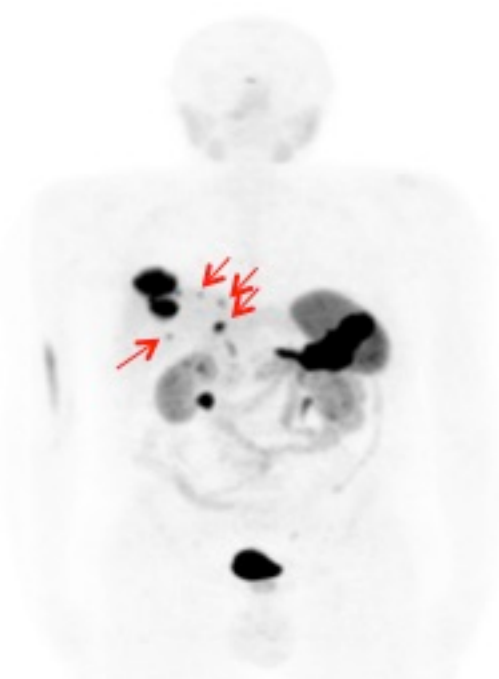


Roma, 9-

## $^{68}\text{Ga}$ -DOTATATE PET/CT



ITALIAN CHAPTER



M  
67 aa

Riscontro occasionale in corso di esame ecotomografico addominale (per calcolosi della colecisti) di metastasi epatiche da ca neuroendocrino del corpo-coda del pancreas



Roma, 9-12 novembre 2017

## Detection of unknown primary neuroendocrine tumours (CUP-NET) using $^{68}\text{Ga}$ -DOTA-NOC receptor PET/CT



Vikas Prasad · Valentina Ambrosini ·  
Merten Hommann · Dieter Hoersch · Stefano Fanti ·  
Richard P. Baum

Eur J Nucl Med Mol Imaging (2010) 37:67–77

**Table 2** Comparison of the sensitivity of  $^{68}\text{Ga}$ -DOTA-NOC PET/CT and CT alone for detection of the primary tumour and sites of metastases of neuroendocrine tumours

Site	$^{68}\text{Ga}$ -DOTA-NOC PET/CT	CT
Primary tumour	35/59 (59%)	12/59 (20%)
Liver metastases	46/59 (78%)	38/59 (64%)
Lymph node metastases	30/59 (51%)	16/69 (27%)
Bone metastases	17/59 (29%)	8/59 (14%)
Lung metastases	3/59 (5%)	3/59 (5%)



Roma, 9-12 novembre 2017

## Bone Metastases in Patients with Neuroendocrine Tumor: $^{68}\text{Ga}$ -DOTA-Tyr<sup>3</sup>-Octreotide PET in Comparison to CT and Bone Scintigraphy



ITALIAN CHAPTER

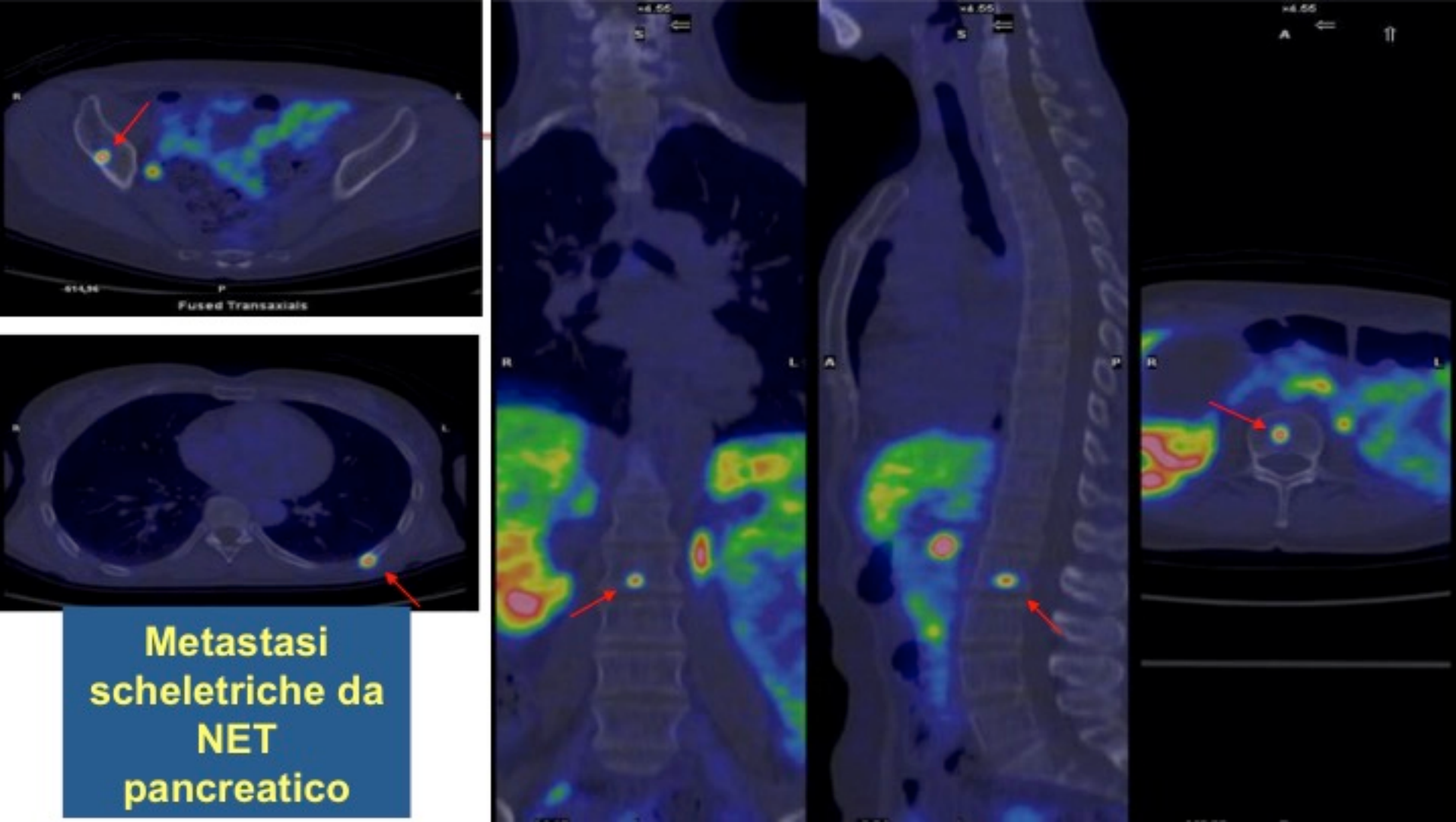
Daniel Putzer<sup>1</sup>, Michael Gabriel<sup>1</sup>, Benjamin Henninger<sup>2</sup>, Dorota Kendler<sup>1</sup>, Christian Uprimny<sup>1</sup>, Georg Dobrozemsky<sup>1</sup>, Clemens Decristoforo<sup>1</sup>, Reto Josef Hale<sup>2</sup>, Werner Jaschke<sup>2</sup>, and Irene Johanna Virgolini<sup>1</sup>

<sup>1</sup>Department of Nuclear Medicine, Innsbruck Medical University, Innsbruck, Austria; and <sup>2</sup>Department of Radiology, Innsbruck Medical University, Innsbruck, Austria

**TABLE 2.** Comparison of PET and CT in Detection of Bone Metastases from Neuroendocrine Tumor

Parameter	$^{68}\text{Ga}$ -DOTATOC PET (%)	CT (%)
Sensitivity	92 (37/38)	58 (22/38)
Specificity	97 (12/13)	100 (13/13)
Accuracy	96 (49/51)	69 (35/51)

Numbers of patients are in parentheses.



Metastasi  
scheletriche da  
NET  
pancreatico



# **<sup>68</sup>Ga-DOTATOC Imaging of Neuroendocrine Tumors: A Systematic Review and Metaanalysis**



Michael M. Graham<sup>1</sup>, Xiaomei Gu<sup>2</sup>, Timothy Ginader<sup>3</sup>, Patrick Breheny<sup>3</sup>, and John J. Sunderland<sup>1</sup>

J Nucl Med 2017; 58:1452–1458  
DOI: 10.2967/jnumed.117.191197

## 1) Sensibilità e specificità

**TABLE 2**  
Sensitivity and Specificity

Reference	n	True-positive	False-negative	True-negative	False-positive	Sensitivity	Specificity
Gabriel et al. (8)	84	69	2	12	1	97.2%	92.3%
Versari et al. (9)	19	12	1	5	1	92.3%	83.3%
Ruf et al. (10)	51	32	7	8	4	82.1%	66.7%
Mayerhoefer et al. (11)	55	32	1	18	4	97.0%	81.8%
Beiderwellen et al. (12)	8	4	1	3	0	80.0%	100.0%
Schraml et al. (13)	51	40	1	10	0	97.6%	100.0%
Venkitaraman et al. (14)	32	25	1	6	0	96.2%	100.0%
Frilling et al. (15)	52	52	0			100.0%	
Poeppel et al. (19)	40	40	0			100.0%	
Jindal et al. (16)	13	13	0			100.0%	
Kumar et al. (17)	20	20	0			100.0%	
Nakamoto et al. (18)	46	6	1			85.7%	

# **<sup>68</sup>Ga-DOTATOC Imaging of Neuroendocrine Tumors: A Systematic Review and Metaanalysis**



ITALIAN CHAPTER

Michael M. Graham<sup>1</sup>, Xiaomei Gu<sup>2</sup>, Timothy Ginader<sup>3</sup>, Patrick Breheny<sup>3</sup>, and John J. Sunderland<sup>1</sup>

**J Nucl Med** 2017; 58:1452–1458  
DOI: 10.2967/jnumed.117.191197

## **2) Confronto <sup>68</sup>Ga-DOTATOC vs <sup>111</sup>In Octreotide**

The sensitivity of <sup>68</sup>Ga-DOTATOC PET is definitely better than <sup>111</sup>In-octreotide SPECT imaging. In the 2 papers that directly compared the 2 approaches, the sensitivity for <sup>68</sup>Ga-DOTATOC on a per-lesion basis was 100% and for <sup>111</sup>In-octreotide 78%. In the

**TABLE 5**  
<sup>68</sup>Ga-DOTATOC Versus <sup>111</sup>In-Octreotide

Reference	n	DOTATOC		Octreotide	
		True-positive	False-negative	True-negative	False-positive
Hofmann et al. (3)	8	40	0	34	6
Buchman et al. (24)	27	70	0	52	18

## **3) Cambio nel management**

review, 3 papers were found that reported change in management after <sup>68</sup>Ga-DOTATOC PET imaging. The pooled result reported change of management in 95 of 188 (51%), which clearly illustrates

# Functional Imaging of Neuroendocrine Tumors With Combined PET/CT Using $^{68}\text{Ga}$ -DOTATATE (Dota-D<sup>D</sup>Phe<sup>1</sup>,Tyr<sup>3</sup>-octreotate) and $^{18}\text{F}$ -FDG

Irfan Kayani, FRCR<sup>1</sup>  
Jamshed B. Bomanji, MD, PhD, FRCR<sup>1</sup>  
Ashley Groves, MD<sup>1</sup>  
Gerard Conway, MD<sup>2</sup>  
Svetlo Gacinovic, MD<sup>1</sup>  
Thida Win, MD<sup>3</sup>  
John Dickson, PhD<sup>1</sup>  
Martyn Caplin, FRCR<sup>4</sup>  
Peter Joseph Ell, FRCA, FRCR<sup>1</sup>

CANCER June 1, 2008 / Volume 112 / Number 11

**TABLE 3**  
**SUVmax of  $^{68}\text{Ga}$ -DOTATATE and  $^{18}\text{F}$ -FDG According to Tumor Grade**

	$^{68}\text{Ga}$ -DOTATATE	$^{18}\text{F}$ -FDG	<i>P</i>
All NET	16.9 (1.6–50)	4.2 (1.4–16.4)	.005
Low-grade NET Ki67 index $\leq 2\%$	29 (3.3–45)	2.9 (1.5–12)	<.001
Intermediate NET Ki67 index 3%–20%	15.5 (1.8–50)	10.5 (2.0–13.9)	NS
High-grade NET Ki67 index >20%	4.4 (1.6–8.9)	11.7 (4.1–16.4)	.03

SUVmax is the median SUVmax with range in parentheses.

SUVmax indicates maximum standardized uptake value; NET, neuroendocrine tumor;  $^{68}\text{Ga}$ -DOTA-TATE,  $^{68}\text{Ga}$ -DOTA-[SCAP]D[R]Phe<sup>1</sup>,Tyr<sup>3</sup>-octreotate;  $^{18}\text{F}$ -FDG,  $^{18}\text{F}$ -Fluorodeoxyglucose.

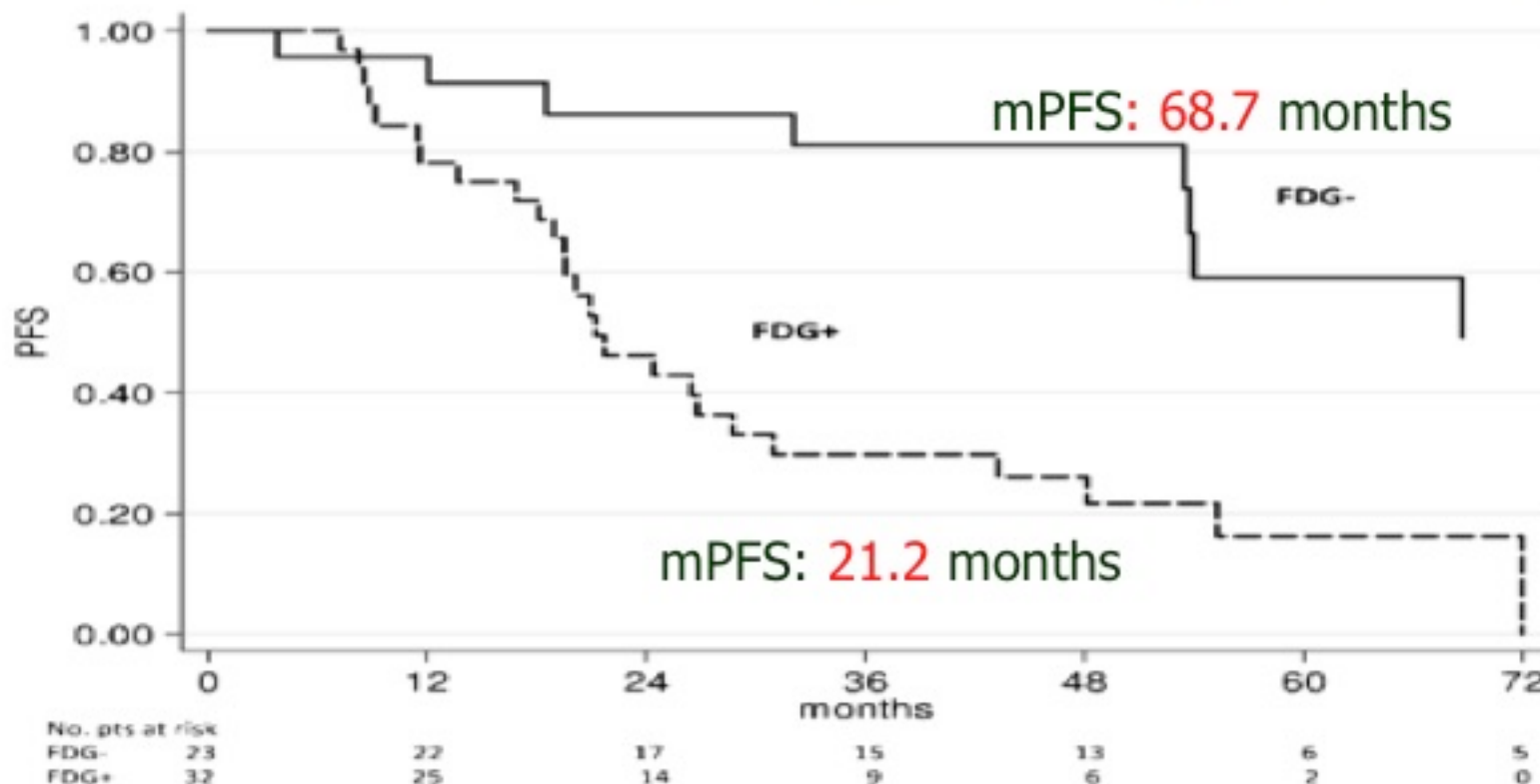
# Long-term follow-up and role of FDG PET in advanced pancreatic neuroendocrine patients treated with $^{177}\text{Lu-D OTATATE}$

Maddalena Sansovini<sup>1</sup> · Stefano Severi<sup>1</sup> · Annarita Ianniello<sup>1</sup> · Silvia Nicolini<sup>1</sup> ·  
Lorenzo Fantini<sup>1</sup> · Emilio Mezzenga<sup>2</sup> · Fabio Ferroni<sup>3</sup> · Emanuela Scarpì<sup>4</sup> ·  
Manuela Monti<sup>4</sup> · Alberto Bongiovanni<sup>5</sup> · Sara Cingarlini<sup>6</sup> · Chiara Maria Grana<sup>7</sup> ·  
Lisa Bodei<sup>7</sup> · Giovanni Paganelli<sup>1</sup>

R

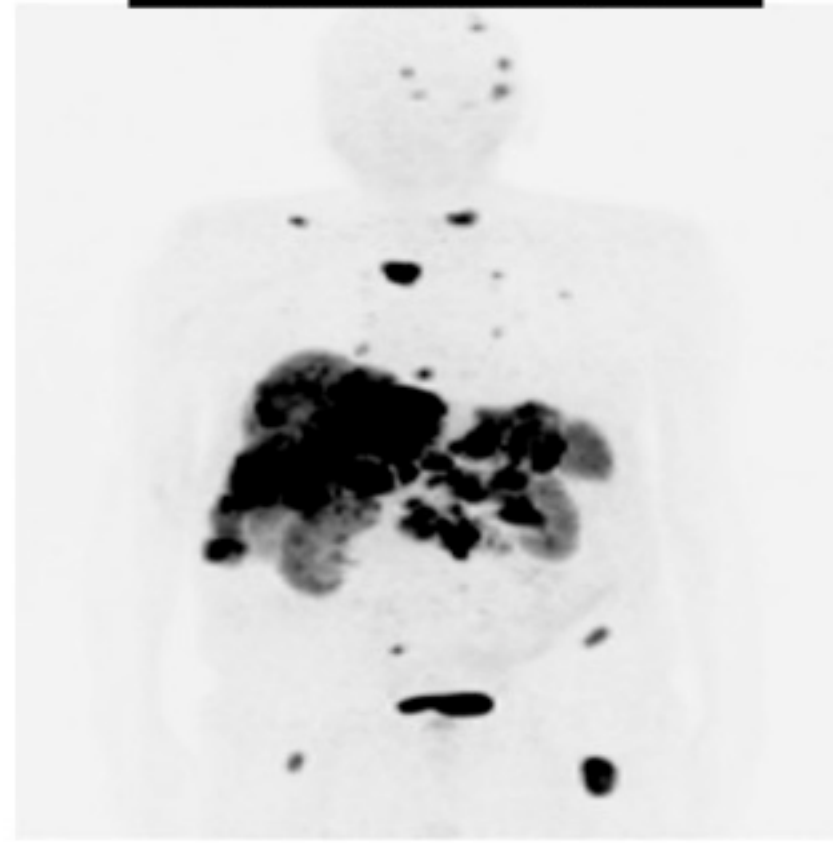
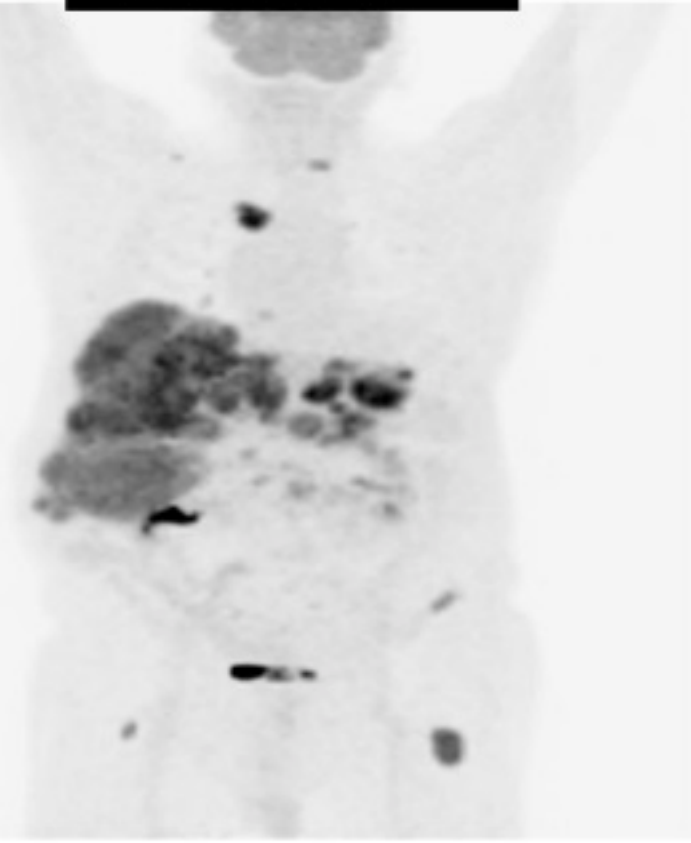
Roma, 9-11

Eur J Nucl Med Mol Imaging (2017) 44:490–499



**18F-FDG PET/CT**

**$^{68}\text{Ga}$ -DOTATOC PET/CT**



GEP NET (Ki67 20%) con estesa metastatizzazione epatica e scheletrica



Roma, 9-12 novembre 2017

# Caso clinico 1



## Ricovero in DH Endocrinologico

### Giugno 2017 PET-TC 68-Gallio

Modesto, disomogeneo e non significativo uptake del tracciante recettoriale a livello della nota formazione di circa 7 cm a carico della testa-processo del pancreas compatibile con scarsa/assente densità recettoriale.



# PET-TC 68-Gallio 16/5/2017



Roma, 9-12 novembre 2017



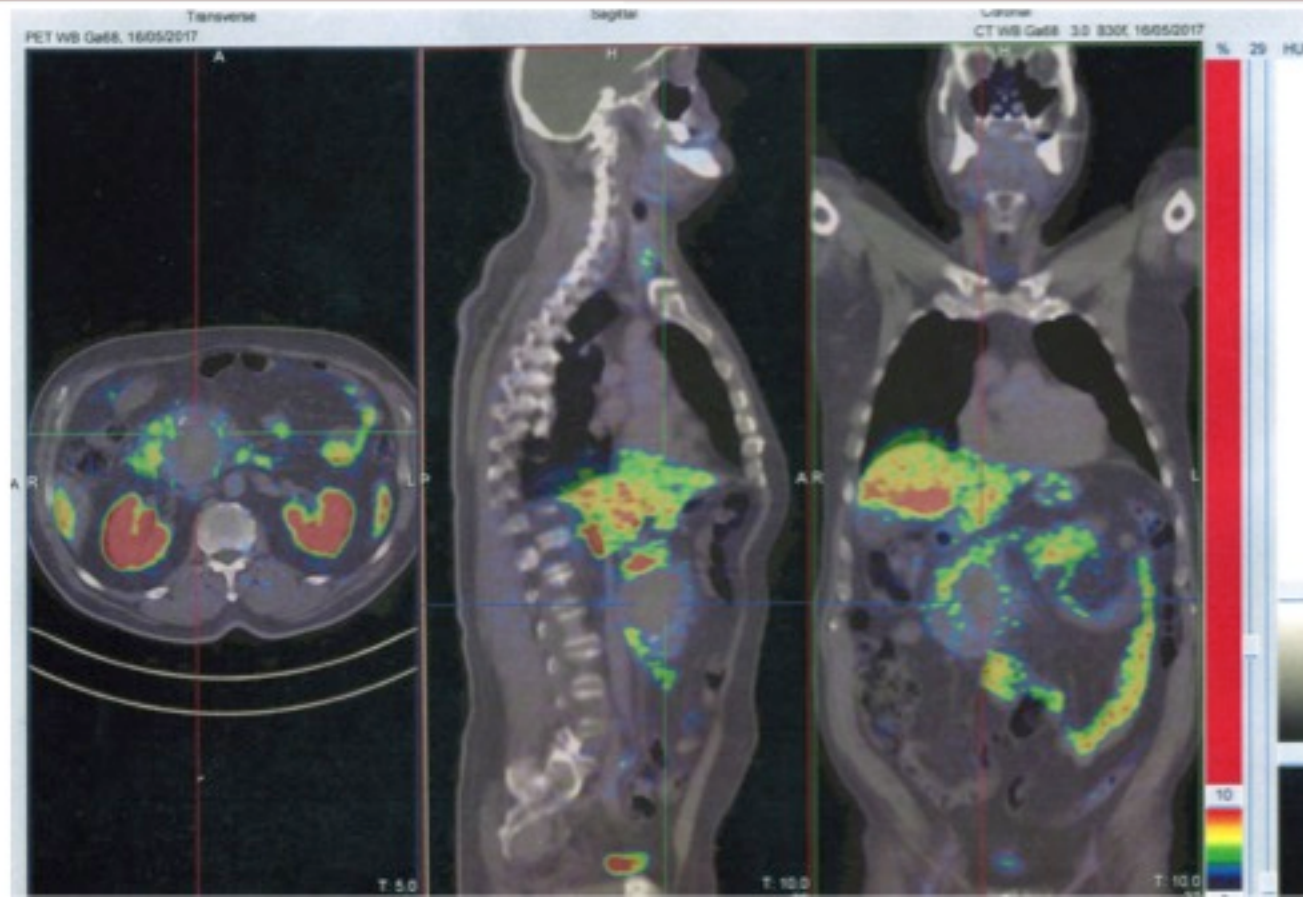


# PET-TC 68-Gallio 16/5/2017



ITALIAN CHAPTER

Roma, 9-12 novembre 2017





Roma, 9-12 novembre 2017

# Caso clinico 1



ITALIAN CHAPTER

- **PET-TC 18-FDG:** concentrazione del radiofarmaco in corrispondenza della testa del pancreas con gradiente metabolico non molto elevato (SUV: 5.8) ed in corrispondenza del lobo destro della tiroide sede di nодulo tiroideo (SUV: 5.6)
- **FNAB ecoguidato** in corrispondenza del nодulo ecograficamente sospetto, classe ecografica 3 AME/AACE 2016/ U4 British, dimensioni 11 mm, lesione follicolare Tir 3A; richiesta valutazione molecolare: BRAF (esone 15): mutazione p.V600E

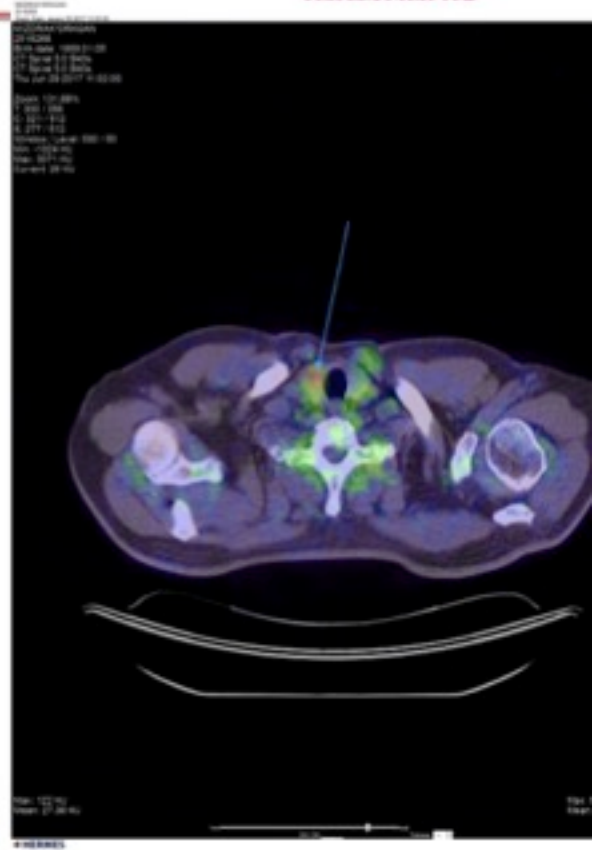
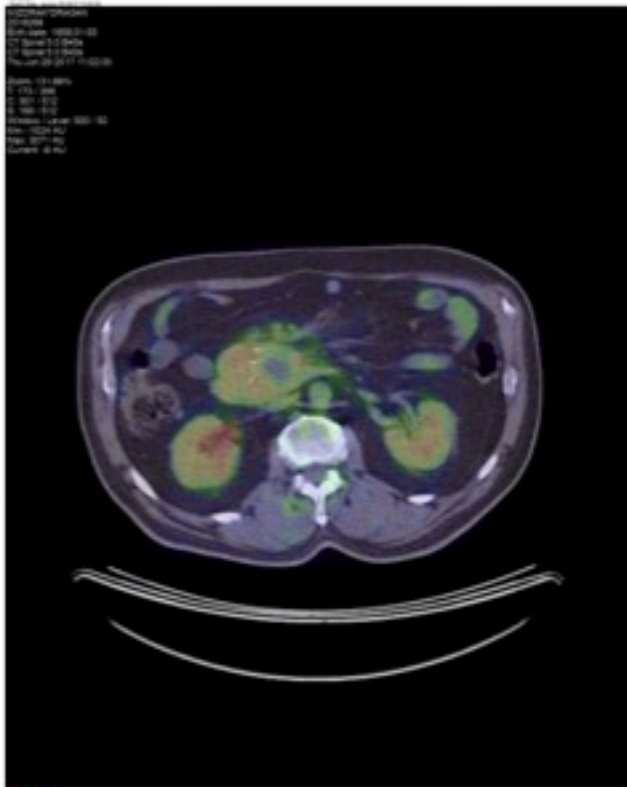


# Caso clinico 1: PET-TC 18-FDG



ITALIAN CHAPTER

Roma, 9-12 novembre 2017



Nodulo tiroideo



Roma, 9-12 novembre 2017

# Caso clinico 1



ITALIAN CHAPTER

- Programmata biopsia epatica in data 06-07-2017 e 18-08-2017: le formazioni nodulari epatiche descritte all'RM non sono ecograficamente riconoscibili. Non si può procedere a biopsia.  
Si consiglia follow-up RMN
- Richiesta **consulenza genetica**
- Inizia analogo della somatostatina: **Lanreotide Autogel 120 mg/28 gg**



Roma, 9-12 novembre 2017

# Conflitti di interesse



Ai sensi dell'art. 3.3 sul conflitto di interessi, pag.17 del Regolamento Applicativo Stato-Regioni del 05/11/2009, dichiaro che negli ultimi 2 anni ho avuto rapporti diretti di finanziamento con i seguenti soggetti portatori di interessi commerciali in campo sanitario:

- Novartis

## *Commento dell'endocrinologo*

**Maria Vittoria Davi'**

UOS di Endocrinologia  
Policlinico Universitario  
GB Rossi AOUI VERONA



**ENETS**

*Center of Excellence*



# Valutazione iniziale: ruolo dell'endocrinologo



Roma, 9-12 novembre 2017

- ✓ Alcuni **NET “non funzionanti” (NF)** solo apparentemente sono tali: una accurata raccolta anamnestica riesce talvolta a far emergere sintomi correlati a **sindrome ormonale** (s. da carcinoide, s. di Cushing ectopica, ecc) o talvolta possono diventare **funzionanti (F)**
- ✓ Inoltre alcuni **NET NF e/o F** possono associarsi a **patologie endocrine** che possono sfuggire all'oncologo o al chirurgo
- ✓ Importanza **dell'anamnesi familiare**: parenti di I grado con endocrinopatie o calcolosi renale
- ✓ Interpretazione di alterazioni di **marker biochimici/ormonali**, eventuale esecuzione di test diagnostici (al digiuno, secretina, calcio gluconato ...).
- ✓ **Nel caso clinico:** lieve iperparatiroidismo normocalcemico associato a NET pancreas: MEN1?



Roma, 9-12 novembre 2017

# Valutazione iniziale: ruolo dell'endocrinologo nella possibile associazione con forme ereditarie



## Clinical Practice Guideline

### Clinical Practice Guidelines for Multiple Endocrine Neoplasia Type 1 (MEN1)

*J Clin Endocrinol Metab* 97: 2990–3011, 2012

## MEN1: MANIFESTAZIONI CLINICHE

Type (chromosome location)	Tumors (estimated penetrance)	Gene, most frequently mutated codons
MEN1 (11q13)	<p>Parathyroid adenoma (90%)</p> <p>Enteropancreatic tumor (30–70%): gastrinoma (40%), insulinoma (10%), nonfunctioning and PPoma (20–55%), glucagonoma (&lt;1%), VIPoma (&lt;1%)</p> <p>Pituitary adenoma (30–40%): prolactinoma (20%), somatotropinoma (10%), corticotropinoma (&lt;5%), nonfunctioning (&lt;5%)</p> <p>Associated tumors: adrenal cortical tumor (40%), pheochromocytoma (&lt;1%), bronchopulmonary NET (2%), thymic NET (2%), gastric NET (10%), lipomas (30%), angiomyomas (85%), collagenomas (70%), meningiomas (8%)</p>	<p>MEN1</p> <p>83/84, 4-bp del (~4%)</p> <p>119, 3-bp del (~3%)</p> <p>209–211, 4-bp del (~8%)</p> <p>418, 3-bp del (~4%)</p> <p>514–516, del or ins (~7%)</p> <p>Intron 4 ss, (~10%)</p>

## Presentation and Outcome of Pancreaticoduodenal Endocrine Tumors in Multiple Endocrine Neoplasia Type 1 Syndrome

Maria Vittoria Davi<sup>a</sup> Letizia Boninsegna<sup>b</sup> Luca Dalle Carbonare<sup>a</sup> Marco Toaiari<sup>a</sup>  
Paola Capelli<sup>c</sup> Aldo Scarpa<sup>c,d</sup> Giuseppe Francia<sup>a</sup> Massimo Falconi<sup>b</sup>

**31 pz con MEN1 e NET pancreatico-duodenali (PD-NET):  
16 NF, 6 insulinomi, 9 ZES**

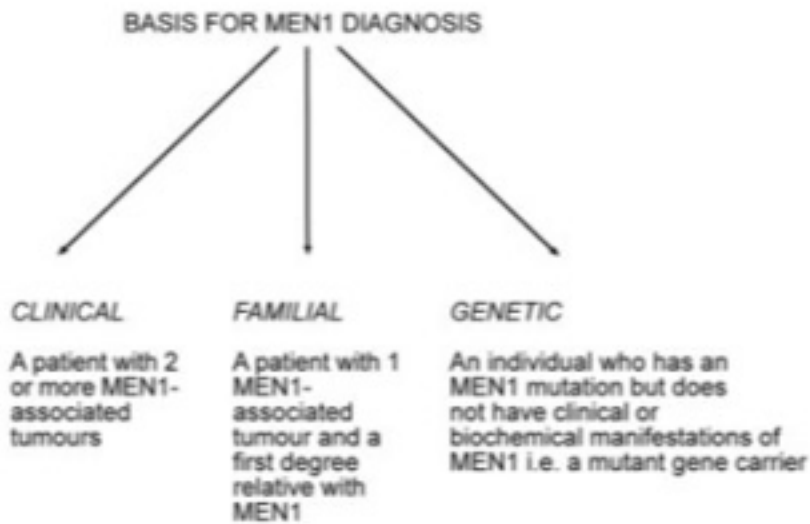
- ✓ 16 pz (52%): diagnosi di MEN1 per PD-NET
- ✓ 15 pz (94%) già presente IPERPARATIROIDISMO I non diagnosticato (asintomatico nel 60%)



## Clinical Practice Guidelines for Multiple Endocrine Neoplasia Type 1 (MEN1)

Rajesh V. Thakker, Paul J. Newey, Gerard V. Walls, John Bilezikian, Henning Dralle, Peter R. Ebeling, Shlomo Melmed, Akihiro Sakurai, Francesco Tonelli, and Maria Luisa Brandi

*J Clin Endocrinol Metab* 97: 2990–3011, 2012





# Screening/Follow up NEN/MEN1



Roma, 9-12 novembre 2017

ITALIAN CHAPTER

**TABLE 2.** Suggested biochemical and radiological screening in individuals at high risk of developing MEN1

Tumor	Age to begin (yr)	Biochemical test (plasma or serum) annually	Imaging test (time interval)
Parathyroid	8	Calcium, PTH	None
Pancreatic NET			
Gastrinoma	20	Gastrin ( $\pm$ gastric pH)	None
Insulinoma	5	Fasting glucose, insulin	None
Other pancreatic NET	<10	Chromogranin-A; pancreatic polypeptide, glucagon, VIP	MRI, CT, or EUS (annually)
Anterior pituitary	5	Prolactin, IGF-I	MRI (every 3 yr)
Adrenal	<10	None unless symptoms or signs of functioning tumor and/or tumor >1 cm are identified on imaging	MRI or CT (annually with pancreatic imaging)
Thymic and bronchial carcinoid	15	None	CT or MRI (every 1–2 yr)



Roma, 9-12 novembre 2017

# Conflitti di interesse



Ai sensi dell'art. 3.3 sul conflitto di interessi, pag.17 del Regolamento Applicativo Stato-Regioni del 05/11/2009, il sottoscritto **dr. ssa Francesca Spada** dichiaro che negli ultimi 2 anni non ho avuto rapporti diretti di finanziamento con soggetti portatori di interessi commerciali in campo sanitario.

Novartis

Ipsen



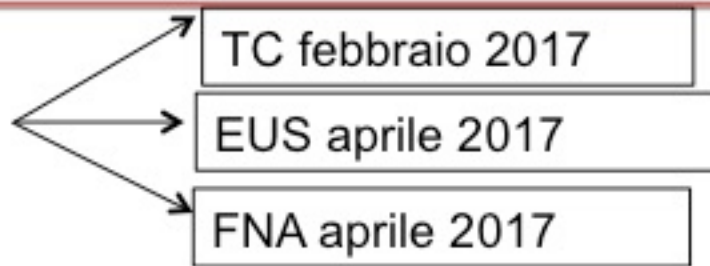
# PanNET NF: algoritmo diagnostico



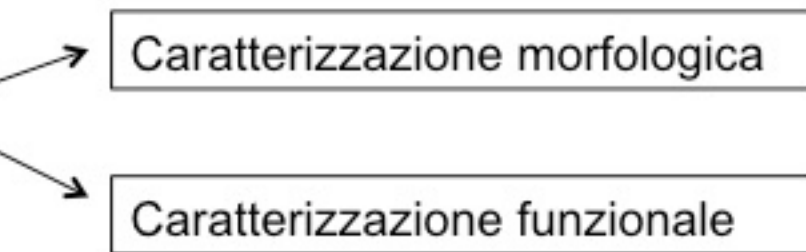
ITALIAN CHAPTER

Roma, 9-12 novembre 2017

## 1. Diagnosi: sospetta, probabile, certa



## 2. Stadiazione e caratterizzazione



## 3. Strategia terapeutica





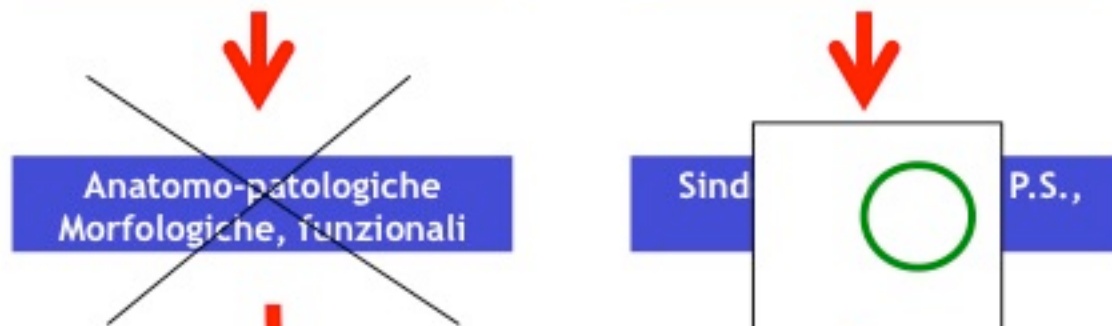
# PanNET NF: strategia terapeutica



Roma, 9-12 novembre 2017

## CARATTERISTICHE DEL TUMORE

## CARATTERISTICHE DEL PAZIENTE



OBIETTIVI IMMEDIATI E TARDIVI DELLA  
TERAPIA



# PanNET NF: strategia terapeutica



ITALIAN CHAPTER

Roma, 9-12 novembre 2017

J Endocrinol Invest (2014) 37:875–909  
DOI 10.1007/s40618-014-0119-0

## POSITION STATEMENT

### Italian Association of Clinical Endocrinologists (AME) position statement: a stepwise clinical approach to the diagnosis of gastroenteropancreatic neuroendocrine neoplasms

Franco Grimaldi · Nicola Fazio · Roberto Attanasio · Andrea Frasoldati · Enrico Pap  
Roberto Baldelli · Debora Berretti · Sara Bianchetti · Giancarlo Bizzarri · Marco Ca  
Nadia Cremonini · Anna Crescenzi · Maria Vittoria Davì · Angela Valentina D'Elia ·  
Stefano Pizzolitto · Annibale Versari · Michele Zini · Guido Rindi · Kjell Öberg

## 1. Stadiazione sistemica 2. Evolutività radiologica

We recommend chest-abdomen MDCT as the routine morphologic imaging modality for the detection and staging of GEP-NENs.

We recommend MRI when the evaluation of bone and CNS is required. In all the other cases MRI should be used as a second-line imaging study, when MDCT is not conclusive or contraindicated.

We suggest CEUS or MRI for a better characterization of liver involvement.

We recommend the use of SSTR functional imaging for localization and staging of G1-G2 GEP-NENs.

We recommend PET/CT with <sup>68</sup>Ga-labeled SA as the procedure of choice. When not available, <sup>111</sup>In-pentetetotide (Octreoscan®) scintigraphy may be used.

We recommend against the routine use of <sup>18</sup>F-FDG PET/CT.

We suggest <sup>18</sup>F-FDG PET/CT for staging high grade (G3) and selected G2 GEP-NENs.



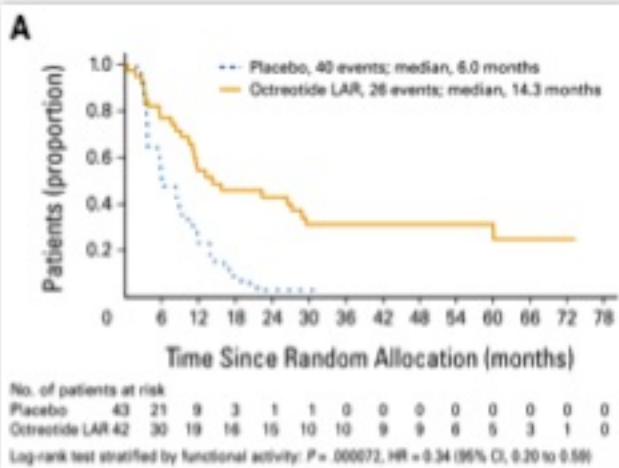
# Analoghi della somatostatina



ITALIAN CHAPTER

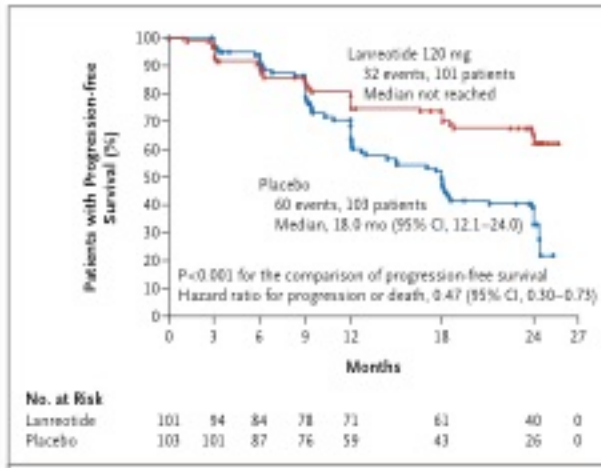
Roma, 9-12 novembre 2017

## PROMID



TTP: 14,3 VS. 6 mo

## CLARINET



PFS: NR VS. 18 mo

Rinke A. et al, JCO 2009; Caplin M. et al. NEJM 2014



# LG AIOM/ITANET 2017



ITALIAN CHAPTER

Roma, 9-12 novembre 2017



Qualità globale delle evidenze	Raccomandazione clinica	Forza della raccomandazione
Alta	Nei pazienti con NET enteropancreatico non funzionante, non rapidamente progressivo, con basso Ki67 ed esprimenti i recettori della somatostatina, Octreotide e Lanreotide dovrebbero essere presi in considerazione (1,2).	Positiva forte

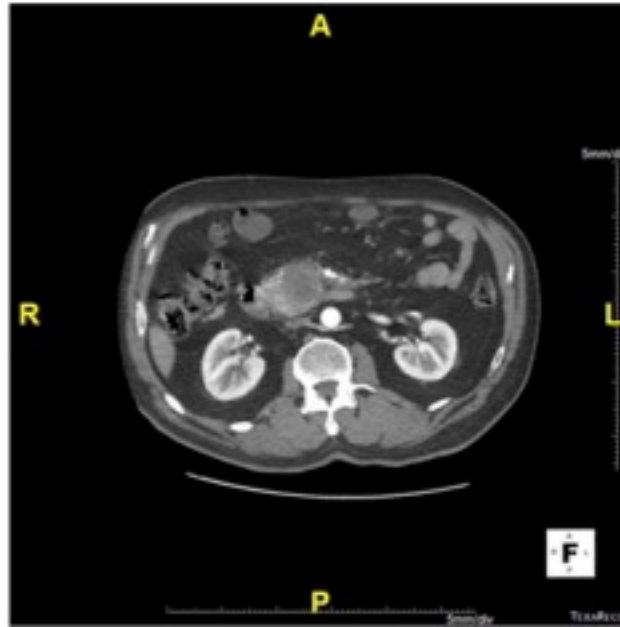
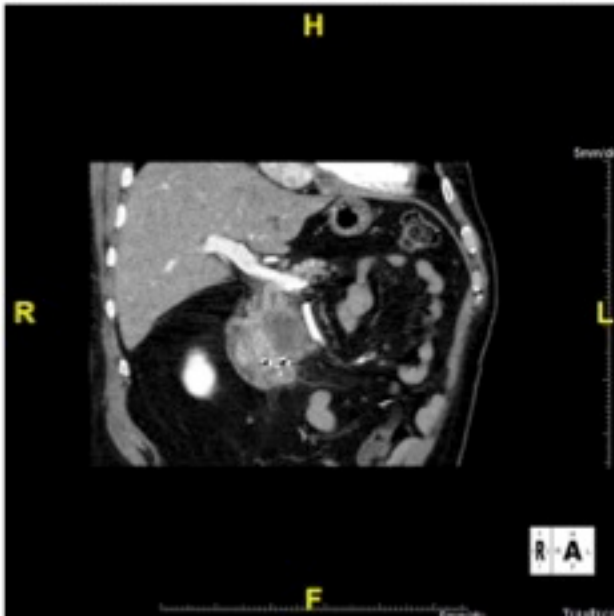


Roma, 9-12 novembre 2017

# Il chirurgo decide di eseguire intervento chirurgico per VLP



In considerazione delle dimensioni e della contiguità con l'arteria mesenterica, non esegue exeresi della lesione pancreatico, ma biopsia di una lesione epatica, visualizzabili 11 lesioni comprese tra 5 e 10 mm





Roma, 9-12 novembre 2017



ITALIAN CHAPTER

## **04-10-2017 Referto della biopsia epatica:**

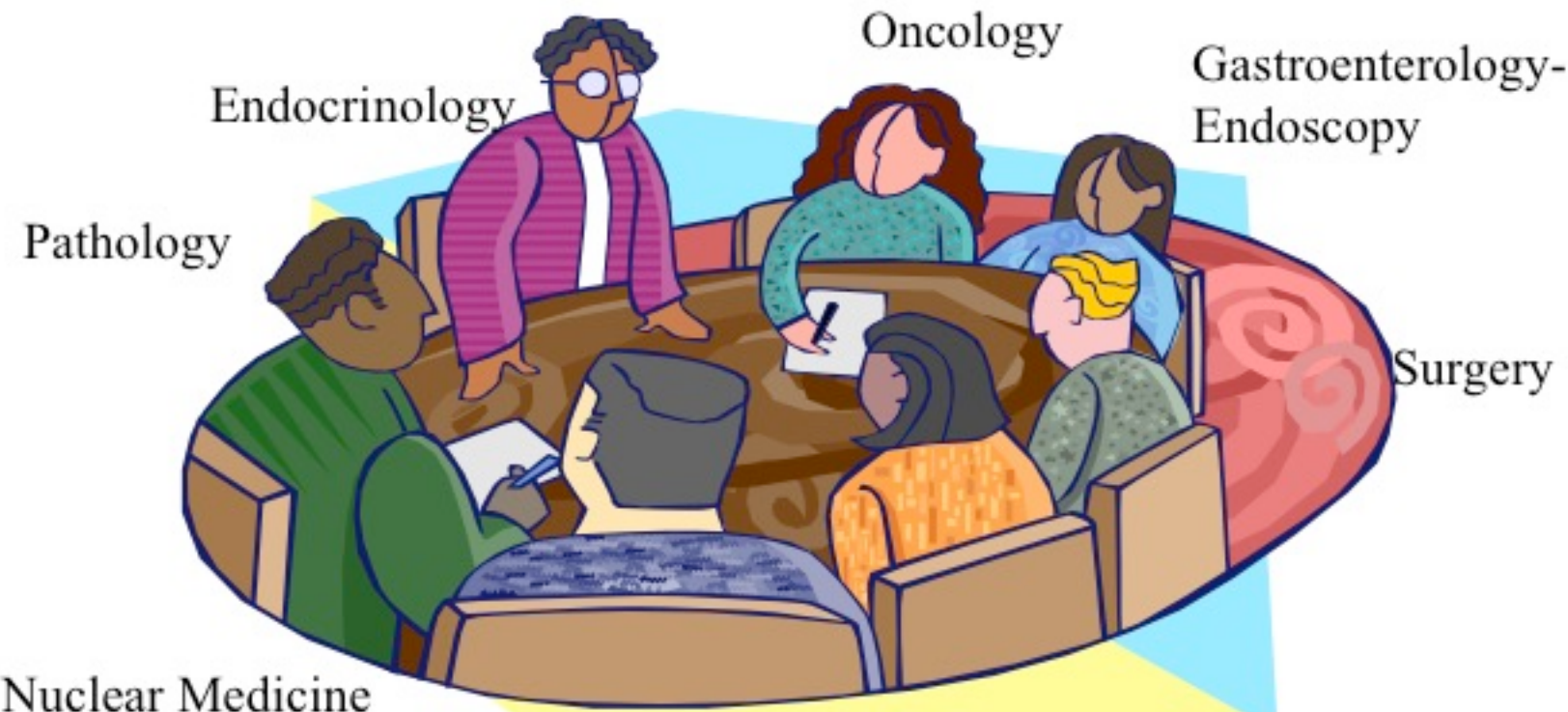
Parenchima epatico con area subcapsulare di proliferazione epiteliale con modesta atipia, con positività immunoistochimica per sinaptofisina, cromogranina, CD56, PAX8 +, negativa per TTF-1.  
Indice proliferativo (Ki67) <2%.



Roma, 9-12 novembre 2017

# Interdisciplinary Discussion

## What treatment/follow up?





Roma, 9-12 novembre 2017

## VALUTAZIONE MULTIDISCIPLINARE

Nome DRAGAN Data di nascita 05/01/1958 ( MAS )  
 Codice Fiscale Medico curante  
 Comune residenza

ID n° PMSar 79

### Valutazione

Data Meeting 18/10/2017

PropONENTE Endocrinologo

### Conclusioni e programma

Condizioni del meeting Controllo TC ed Entero-TC a 4 mesi al fine per di valutare eventuale progressione al fine di intraprendere trattamento con everolimus.

Nel frattempo prosegue l'iter ORL per tiroidectomia totale con linfadenectomia del canto labiale ed esplorazione cervicale per paratiroidi.

Vedi paragrafo conclusioni del meeting.

### Indicazioni e commenti

### Presenti al meeting

Dott. Grimaldi Franco  
 Dott. Capobianco Duccio  
 Dott. Giacomuzzi Francesco  
 Dott.ssa Carpenieri Maria  
 Dott.ssa Gipi Claudio  
 Dott.ssa Ermacora Paola  
 Prof. Uzzau Alessandro  
 Dott. Parisi Giuseppe  
 Dott.ssa Bennetti Debora  
 Dott.ssa Kara Elda

endocrinologo (3), medico nucleare,  
 oncologo (2), chirurgo, gastroenterologa

### Di compilatore

Dott. Franco Grimaldi

*La presente scheda deve intendersi quale orientamento diagnostico terapeutico del gruppo multidisciplinare; la decisione finale spetta al medico referente del caso, dopo visita e discussione con il/a paziente.*



Roma, 9-12 novembre 2017

# Quale follow up

## diagnostico – terapeutico ?



### Quesiti:

#### Terapia medica:

- Analoghi della somatostatina?
- Everolimus?

#### Ulteriori indagini:

- Quali?,
- Quando?

## ENETS Consensus Recommendations for the Standards of Care in Neuroendocrine Neoplasms: Follow-Up and Documentation

Organ	Status	E-U	Every	CgA	Markers <sup>a</sup>	Endoscopy	CT/MRI/US <sup>b</sup>	SRF <sup>c</sup>	FDG-PET	Comments
<i>Pancreas</i>										
Insulinoma solitary G1–G2 NET <sup>n</sup>	resected	yes	once 3–6 m	yes <sup>d</sup>	fasting BS insulin C-peptide pro-insulin	no	no	no		fasting test performed if symptoms recur; EUS may be required if recurrence is suspected
Insulinoma localized or metastases G1–G2 NET <sup>n</sup>	nonresected	yes	3–6 m	yes <sup>d</sup>	fasting BS insulin C-peptide pro-insulin	no	3–6 m	12 m <sup>e</sup>		EBUS may be required if progression is suspected
Gastrinoma G1–G2	resected	yes	3–6 m	yes	gastrin, B <sub>12</sub> , Ca <sup>2+</sup> , PTH		6–12 m	12– 24 m <sup>e</sup>		gastric pH measurement or secretin test may be performed if symptoms recur; EUS may be required if recurrence is suspected
Gastrinoma G1–G2	nonresected	yes	3–6 m	yes	gastrin, B <sub>12</sub> , Ca <sup>2+</sup> , PTH		3–6 m	12– 24 m <sup>e</sup>		EBUS may be required if progression is suspected
Functional pNET G1–G2 localized or metastases <sup>n</sup>	resected/ nonresected	yes	3–6 m	yes	relevant tumor hormones <sup>d</sup>	no	3–6 m	12– 24 m <sup>e</sup>		EBUS may be required if recurrence or progression is suspected
Nonfunctional pNET G1–G2 <sup>n</sup>	resected/ nonresected	yes	3–6 m	yes	none	no	3–6 m	12– 24 m <sup>e</sup>		EBUS may be required if recurrence or progression is suspected
pNET G3 NENC/ NET <sup>n</sup>	resected/ nonresected	yes	3 m	yes <sup>d</sup>	if functioning relevant tumor hormones <sup>d</sup>	no	2–3 m	12– 24 m <sup>e,f</sup>	12– 24 m <sup>f</sup>	EBUS may be required if recurrence or progression is suspected

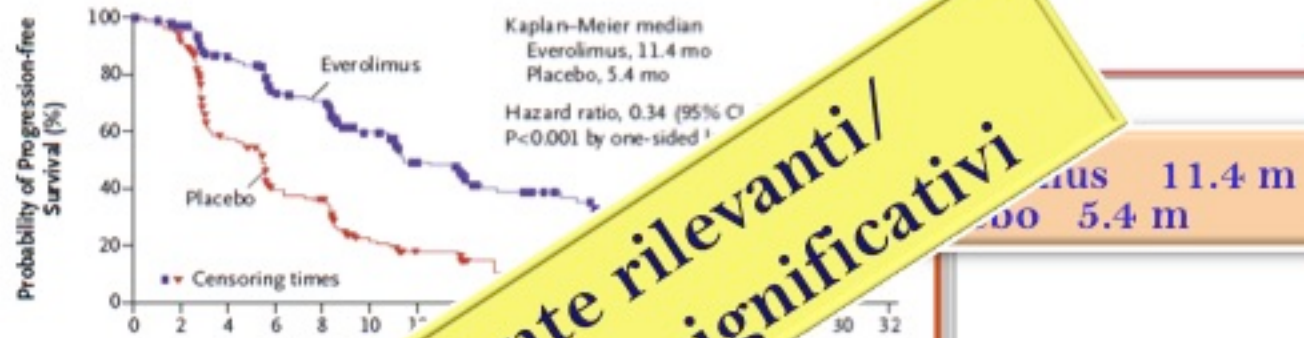


Roma, 9-12 novembre 2014



ITALIAN CHAPTER

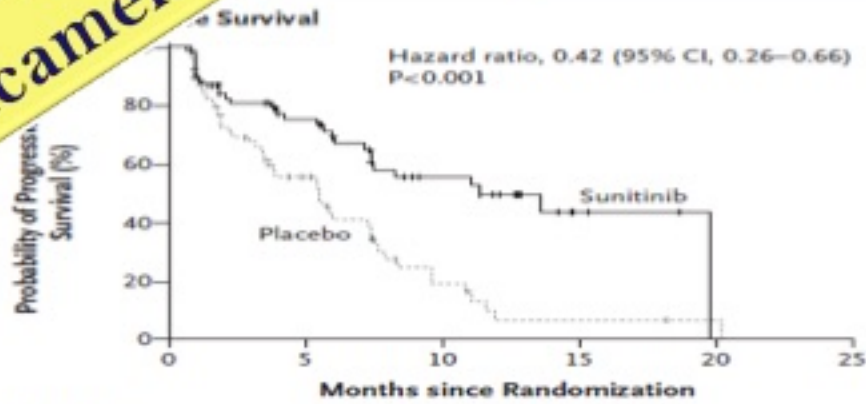
B Progression-free Survival, Adjudicated Central Review



Clinicamente rilevanti /  
statisticamente significativi

Yao, NEJM

Sunitinib 11.4 m  
Placebo 5.5 m



No. at Risk	Sunitinib	Placebo
Initial	86	85
1 month	86	85
3 months	39	28
6 months	19	7
1 year	4	2
2 years	0	1
3 years	0	0

Raymond, NEJM 2011



Roma, 9-12 novembre 2017





Roma, 9-12 novembre 2017

# Caso clinico 2



ITALIAN CHAPTER

- Signor Roberto, 69 anni.

## Anamnesi:

- Diverticolosi del sigma
- Prostatectomia totale per ca. prostata (2015)

- Nel corso del follow-up oncologico urologico (marzo 2016) riscontro ecografico con successiva conferma TC di focalità epatiche non captanti alla PET-TC con 18-FDG



Roma, 9-12 novembre 2017

## Caso clinico 2



- Esordio sintomatico con diarrea cronica dall'autunno 2016 (alvo: 20 scariche/die).
- Seguito in Gastroenterologia: indagini colturali, gastroscopia e colonscopia risultate negative.
- Maggio 2017: Cromogranina: 92.440 ng/ml
- Giugno 2017: Cromogranina ulteriore incremento



Roma, 9-12 novembre 2017

# Caso clinico 2



ITALIAN CHAPTER



<i>Esame</i> 28-06-2017	<i>Risultato</i>	<i>Intervallo di normalità</i>
<b>Cromogranina</b>	<b>121.520 ng/ml</b>	<b>0 - 108</b>



Roma, 9-12 novembre 2017

## Caso clinico 2



ITALIAN CHAPTER

- Fine Giugno 2017 il gastroenterologo richiede consulenza endocrinologica
- **Ricoverato in Day Hospital Endocrinologico, si richiede:**
  - ❖ dosaggio acido 5-OH-indol acetico
  - ❖ TC addome e TC torace eseguita 05-07-2017
  - ❖ PET/TC Gallio 68 eseguita 13-07-2017
  - ❖ visita cardiologica ed ecocardiografia: sintomatologia suggestiva per coinvolgimento cardiaco da sindrome da carcinoide (segni da scompenso destro)



Roma, 9-12 novembre 2017



## Caso clinico 2



<i>Esame</i> 28-06-2017	<i>Risultato</i>	<i>Intervallo di normalità</i>
<b>5-HIAA urinario</b>	<b>1764 microMol/24 h</b>	<b>11 - 37</b>



Roma, 9-12 novembre 2017

# Caso clinico 2



ITALIAN CHAPTER



## TAC addome:

nel ventaglio mesenterico si riconosce **tessuto solido ipervascolare**, dimensioni: 2,4 cm in continuità/adeso senza piano adiposo di clivaggio con la parete di un'ansa intestinale a carattere di tenue.



Roma, 9-12 novembre 2017

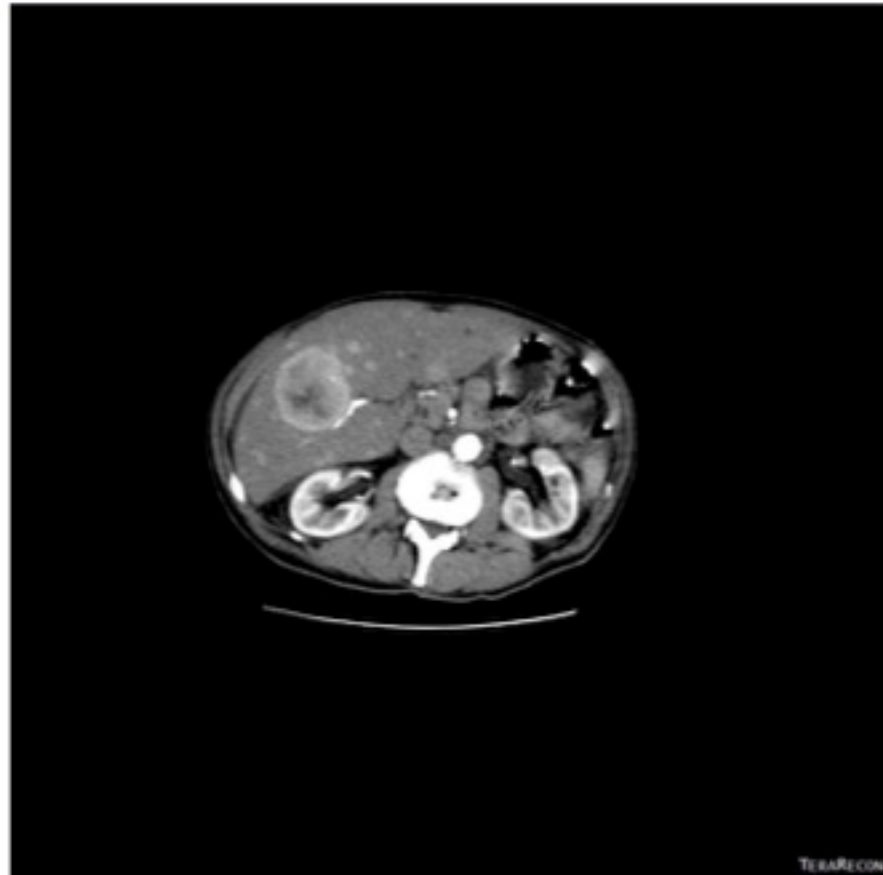
# Caso clinico 2



ITALIAN CHAPTER

## TAC addome:

In ambito epatico: **plurime lesioni focali ipervascolari** preferenzialmente di natura secondaria, a carico di entrambi i lobi, le maggiori con componente centrale ipodensa come da colliquazione, localizzate VII (circa 7,7 x 7,5 cm), V (circa 6,3 x 5,4 cm) e VI (circa 6,7 x 6,6 cm) segmento



TERARECON



Roma, 9-12 novembre 2017

# Il ruolo del radiologo



ITALIAN CHAPTER

Nei SI-NENs spesso in TC è più facile visualizzare le metastasi mesenteriche che possono indurre reazione desmoplastica (portando a ostruzione intestinale o encasement dei vasi con alterazione della circolazione) rispetto al tumore primitivo





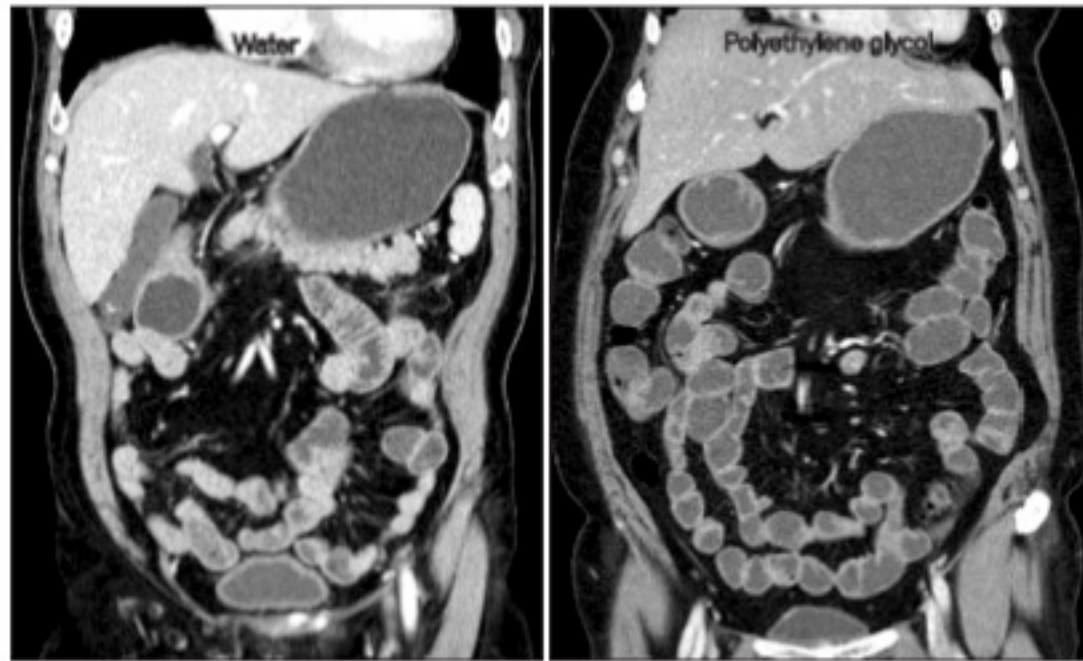
# Il ruolo del radiologo



ITALIAN CHAPTER

Roma, 9-12 novembre 2017

Per la visualizzazione del tumore primitivo può essere utile l'entero-TC o entero-RM. Enterografia (MdC per os) o enteroclisi (MdC con sondino) sono comparabili. Sensibilità molto alta per entrambe (100-86%). Specificità 96-98%. In TC esame più breve e meno artefatti da movimento. Bassa l'accuratezza nel visualizzare multifocalità (riscontrabile nel 20-30% dei casi).





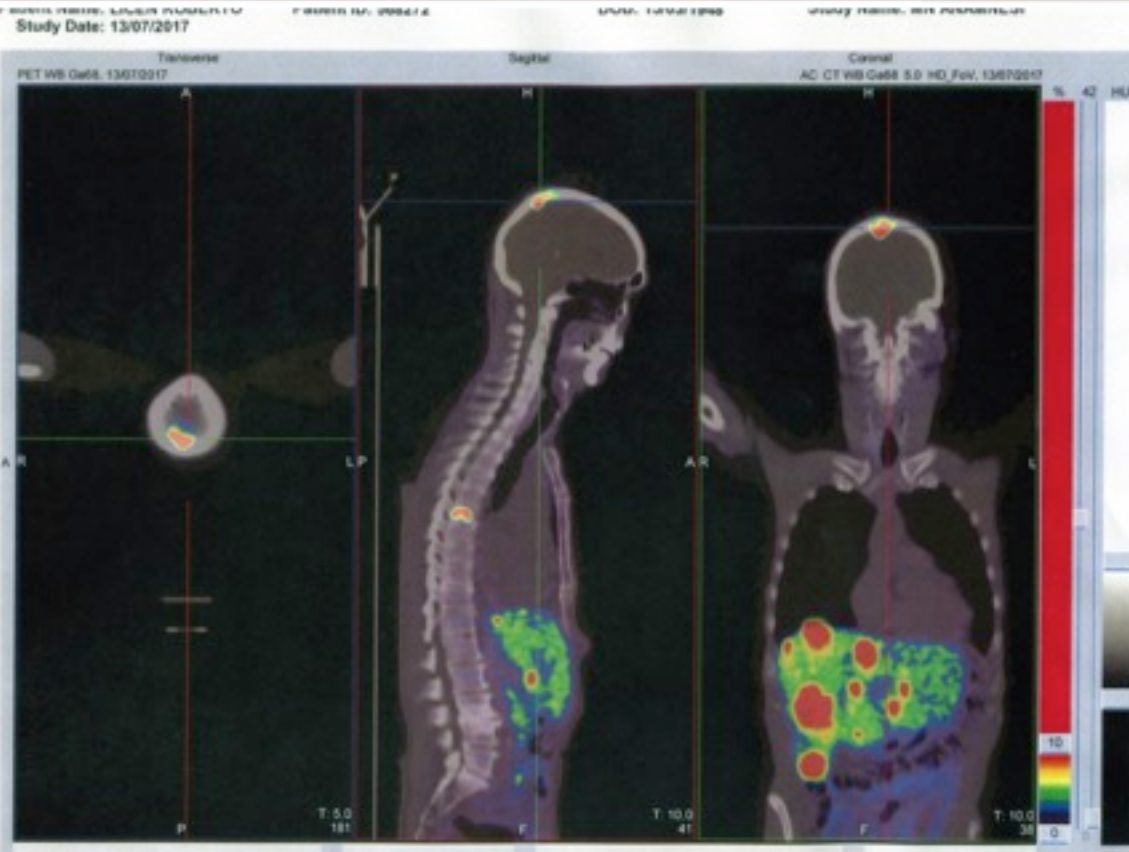
In ambito epatico, si apprezza un diffuso sovvertimento di tutto parenchima per la presenza di numerose neoformazioni intensamente fissanti il radiofarmaco, le maggiori delle quali presentano un core necrotico-colliquato.

In ambito scheletrico, si documentano due lesioni ipercaptanti di significato ripetitivo: una a livello della teca cranica (regione parietale superiore sinistra a livello dell'apice) l'altra in corrispondenza del soma di D7.



ITALIAN CHAPTER

Roma, 9-12 novembre 2017



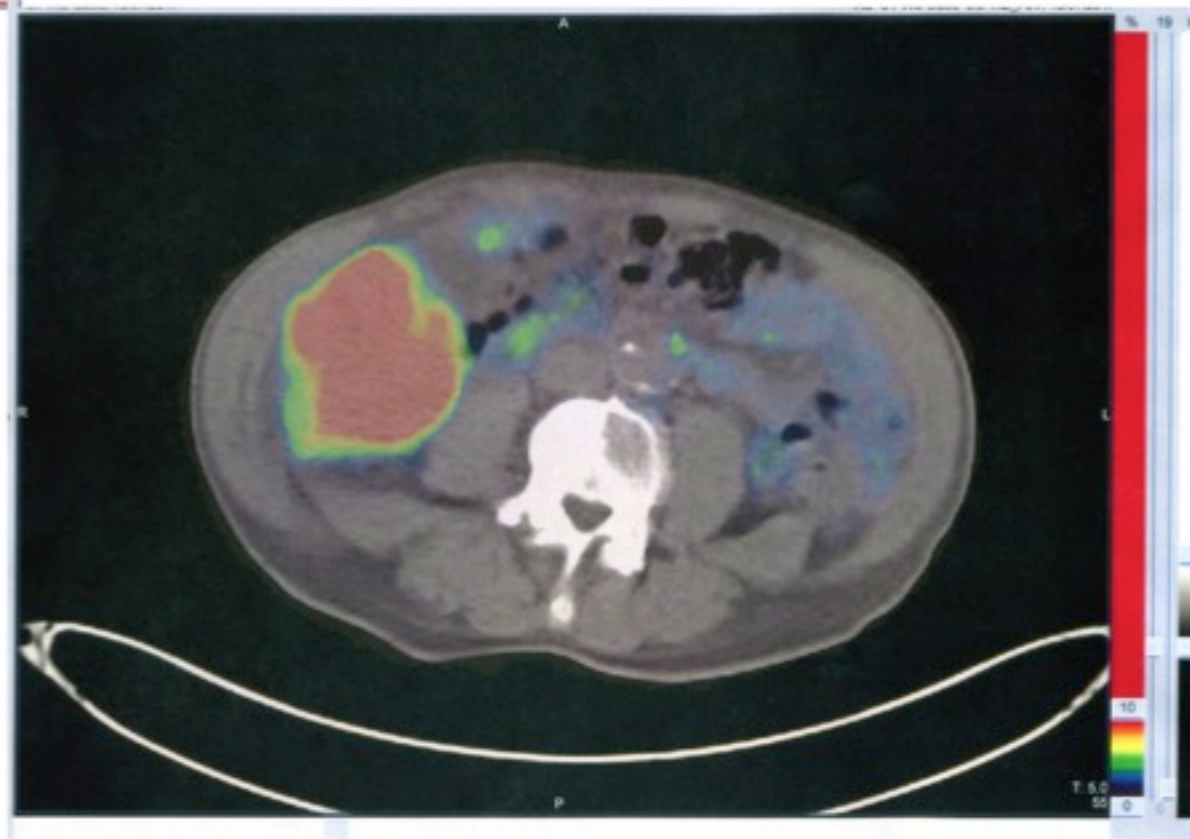
## PET Gallio 68



All'analisi delle immagini si apprezza un'area di intensa captazione del radiofarmaco in corrispondenza della formazione solida posta in regione ipogastrica, in corrispondenza del ventaglio mesenterico, che sembra essere adesa a un'ansa intestinale (pacchetto linfonodale? lesione primitiva?). Più cranialmente rispetto a questo reperto, si osserva inoltre una focale captazione del tracciante che si proietta a livello del colon ascendente (piano passante per il margine inferiore di L5). Tutti i reperti sovramenzionati sono suggestivi per malattia ad elevata espressione dei recettori della somatostatina.



Roma, 9-12 novembre 201



**PET Gallio 68**



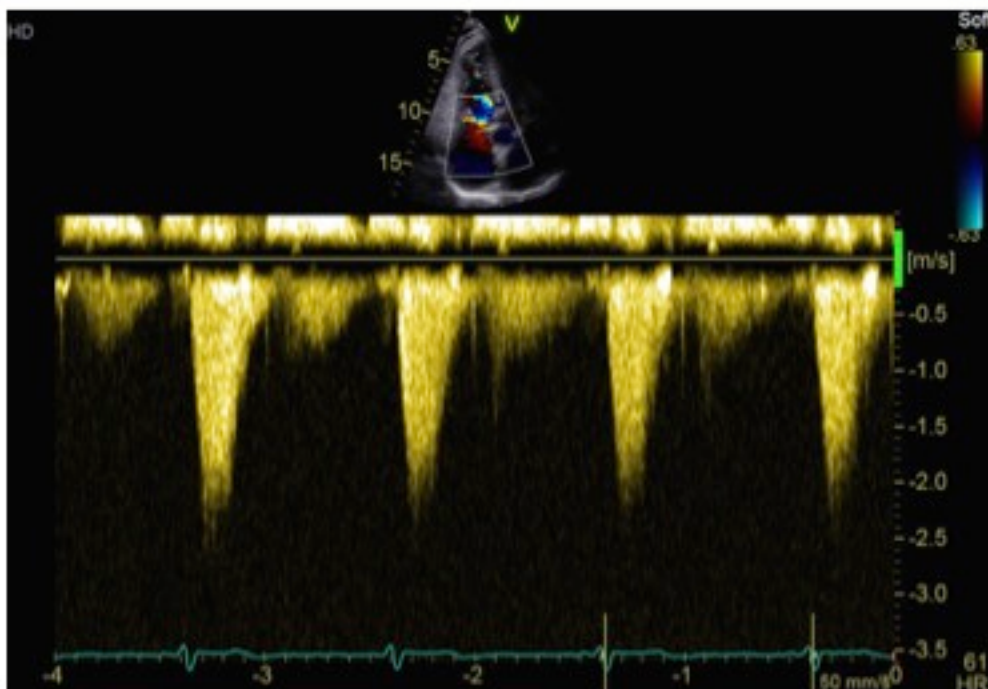
Roma, 9-12 novembre 2017

# Cardiopatia da carcinoide



- Valutazione cardiologica
- Ecocardiografia

L'immagine indica il segnale doppler del rigurgito tricuspidale che appare di forma triangolare, compatibile con **valvulopatia tricuspidale con rigurgito di grado severo, con segni di scompenso destro**.





Roma, 9-12 novembre 2017

# Inizio terapia



3 settimane dopo la presa in carico, inizia terapia con analoghi della somatostatina:

- **Octreotide LAR 30 mg/28 gg previa induzione con Octreotide s.c.**
- Ottima risposta clinica e bioumorale: riduzione della diarrea: 20 --> 6 scariche/die



Roma, 9-12 novembre 2017

# Carcinoidi associati a sindrome



- **GI-NETs (67%)**



gastrointestinali  
(GI-NET)

- **NETs Toracici (25%)**



tracheobronco  
polmonari/timo

- 38% piccolo intestino (> ileali )
- S. da carcinoide tipica: ~30% ileali
- Multicentrici nel 30% dei casi
- Maligni anche se Ki 67 ≤2% e piccole dimensioni
- Età d'insorgenza: VI-VII decade

- Carcinoide bronchiale tipico
- S. da carcinoide atipica: 1-3%
- Ki 67 ≤ 2%
- Metastasi < 15%
- Età d'insorgenza: V decade

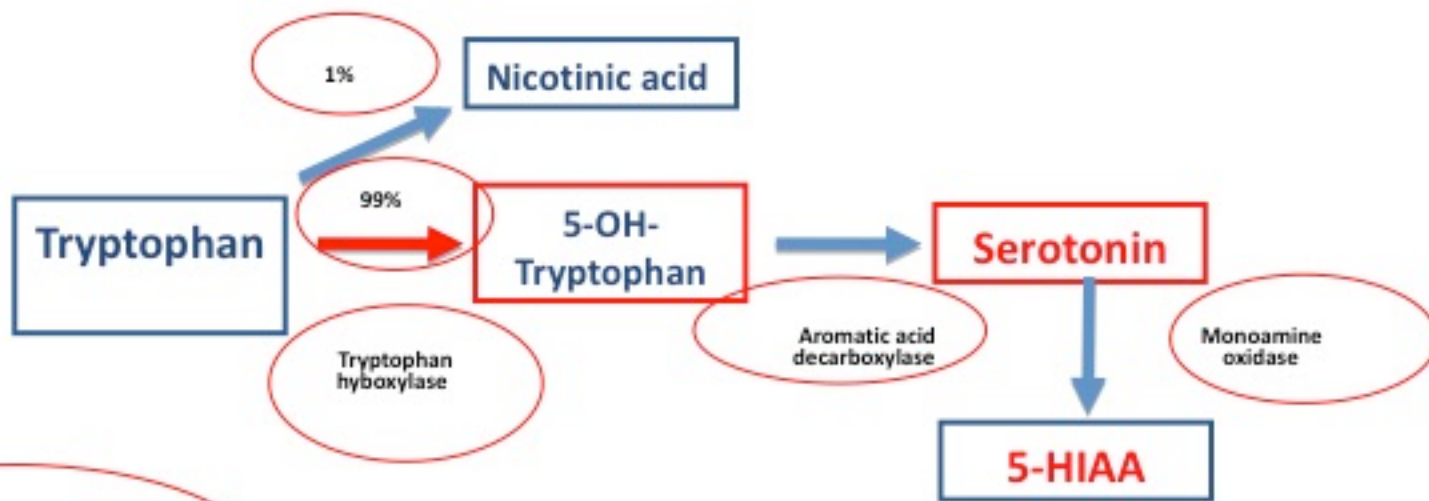


Roma, 9-12 novembre 2017

# Serotonin synthesis



ITALIAN CHAPTER



Ileal carcinoid  
tumors



# Sindrome da carcinoide (sc)



ITALIAN CHAPTER

Roma, 9-12 novembre 2017



## SC TIPICA (95%):

18-30% NET digiuno-ileali  
+ mts epatiche

< 5% mts retroperitoneali o carcinoide ovarico

- flushing (viso, collo, torace)
- diarrea
- crampi e dolore addominale
- broncospasmo
- pellagra
- scompenso cardiaco ds da alterazioni fibrotiche delle valvole cardiache ds

## SC ATIPICA (5%):

NET gastrici e bronchiali

- flushing prolungato
- teleangectasie, acroclanosi
- edema e iperemia oculare
- broncospasmo
- ipotensione



## CRISI DA CARCINOIDE

- ipotensione (rara ipertensione)
- tachicardia
- broncospasmo
- diarrea
- alterazioni neurologiche



Alcol, alcuni cibi, stress fisico e mentale, infezioni possono scatenare una crisi !!



*Journal of Health Politics, Policy and Law*, Vol. 35, No. 3, June 2010, pp. 571–593  
DOI 10.1215/03616878-994000 © 2010 by The University of Chicago Press, Inc.

- 40-50% nei pz con s. da carcinoides (20% dopo introduzione AS)
  - Fibrosi a placche delle valvole ds
  - Scompenso cardiaco destro è causa di morte nel 30-50% dei casi
  - Età, livelli di 5-HIAA, insufficienza tricuspide predittori di mortalità
  - Ecocardiogramma: gold standard x diagnosi e follow up
  - NT-proBNP: valore diagnostico e prognostico

## 5-HIAA urinario



- Marker specifico della sindrome da carcinoide
- Dosaggio della serotonina non è più raccomandato
- > Elevato nella cardiopatia da carcinoide (predittore di progressione)

**Valori normali = 2- 8 mg/24 h; 10-42 µmol/24 h**

**cut-off x la diagnosi di SC > 20 mg/24 h; 100 µmol/24 h**

**> 300 µmol/24 h (60 mg/24 h) rischio di sviluppo di cardiopatia**

**SENSIBILITA' > 90%**  
**SPECIFICITA' 90%**

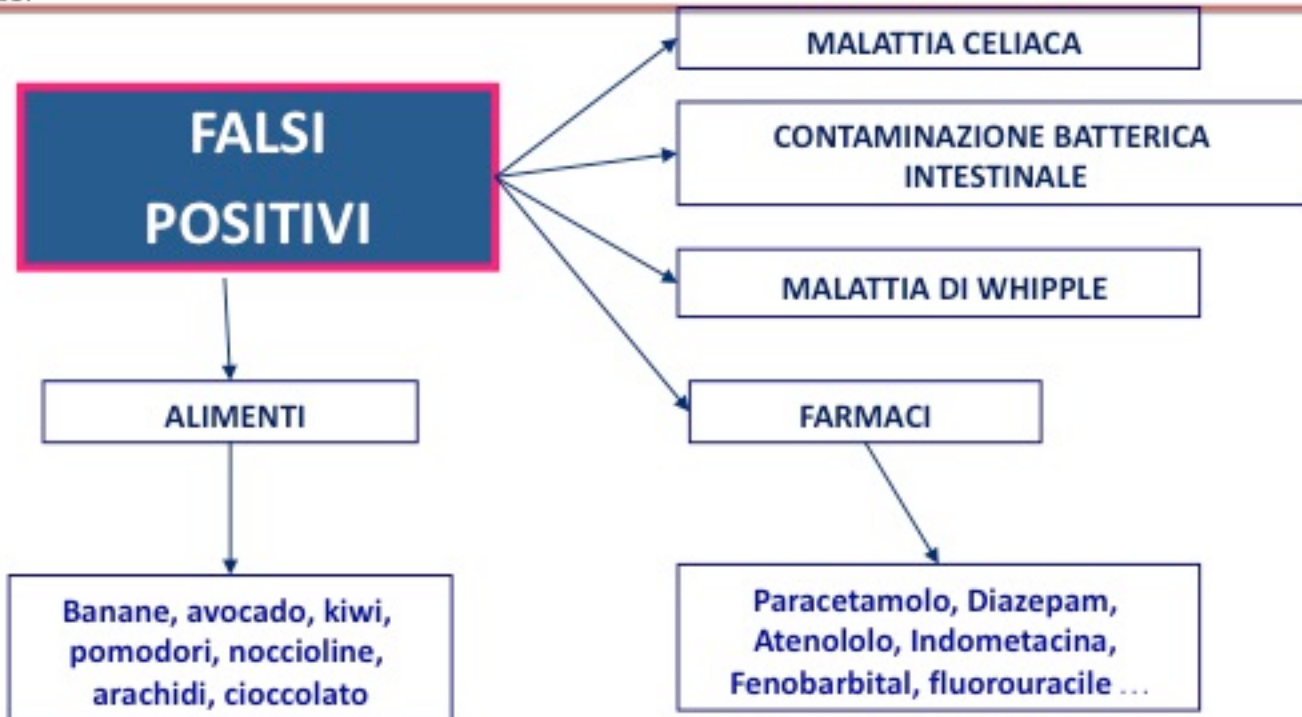


# ACIDO 5-IDROSSI-INDOLACETICO



ITALIAN CHAPTER

Roma, 9-12 novembre 2017



# NT-proBNP



- **Marker della cardiopatia/scompenso cardiaco** (diagnosi e follow up)
- Cut-off: 260 pg/ml (31 pmol/l) (sensibilità 92%, specificità 91%)
- Valore prognostico di sopravvivenza
- Da dosare ogni 1 o 2 anni
- In associazione ad ecocardiogramma

## CrgA e cardiopatia da carcinoide

- Sensibilità del 100% e specificità del 30% nel predire la cardiopatia da carcinoide
- Non indicata nello screening della cardiopatia da carcinoide ma nella valutazione della progressione del NET

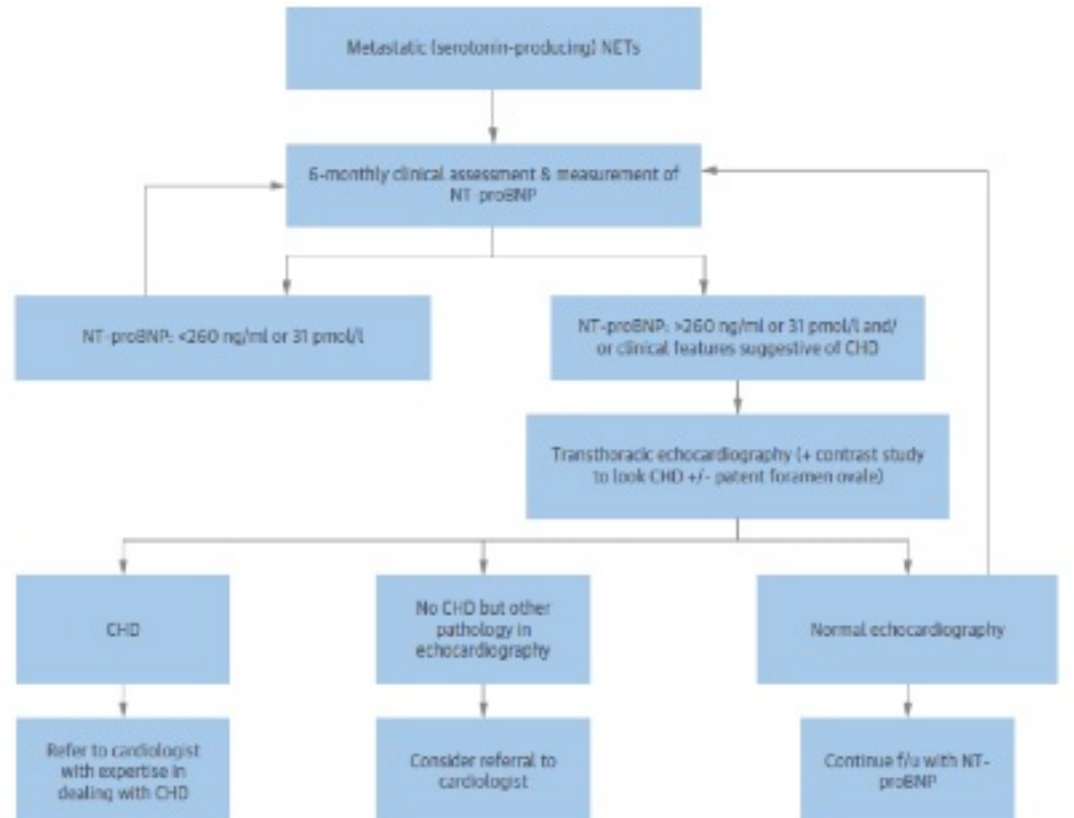


Roma, 9-12 novembre 2017



ALIAN CHAPTER

FIGURE 2 Proposed Algorithm for the Screening and Investigation of CHD



This graphic provides an algorithm for how patients with metastatic (serotonin-producing) neuroendocrine tumors (NETs) should be screened and assessed for carcinoid heart disease (CHD), including, importantly, when to refer to cardiology. f/u = follow-up; NT-proBNP = N-terminal pro-B-type natriuretic peptide.



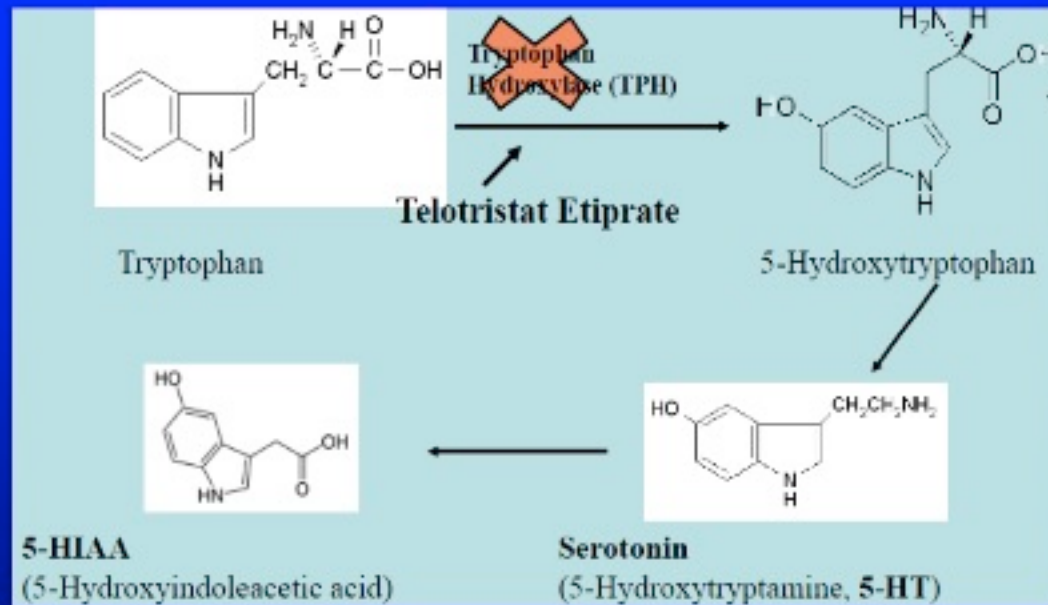
## Terapia dello scompenso cardiaco: trattamento personalizzato

- **Analoghi della somatostatina di 1<sup>^</sup> scelta** per il controllo della sindrome da carcinoida e per prevenire la progressione della cardiopatia;
- **Nelle forme refrattarie:** aumento della dose di SA, aggiunta di Interferone, PRRT, Telotristat;
- **TAE e chirurgia epatica:** cautela nelle forme avanzate di cardiopatia
- **Terapia cardiochirurgica** in casi selezionati



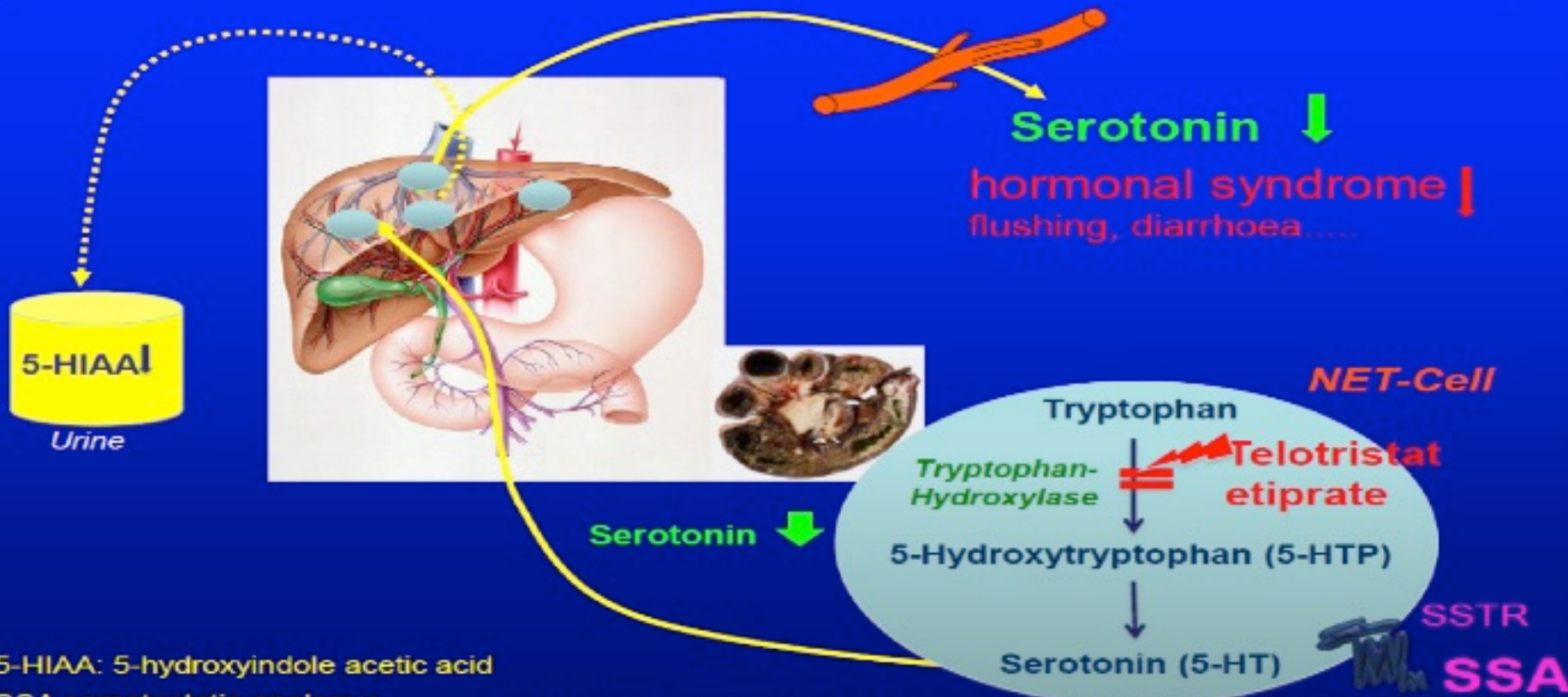
Roma, 9-12 novembre 2017

# Telotristat etiprate: Mode of action



TPH catalyzes  
the first step of serotonin  
synthesis

**In addition to SSA, telotristat etiprate inhibits serotonin production and alleviates symptoms**



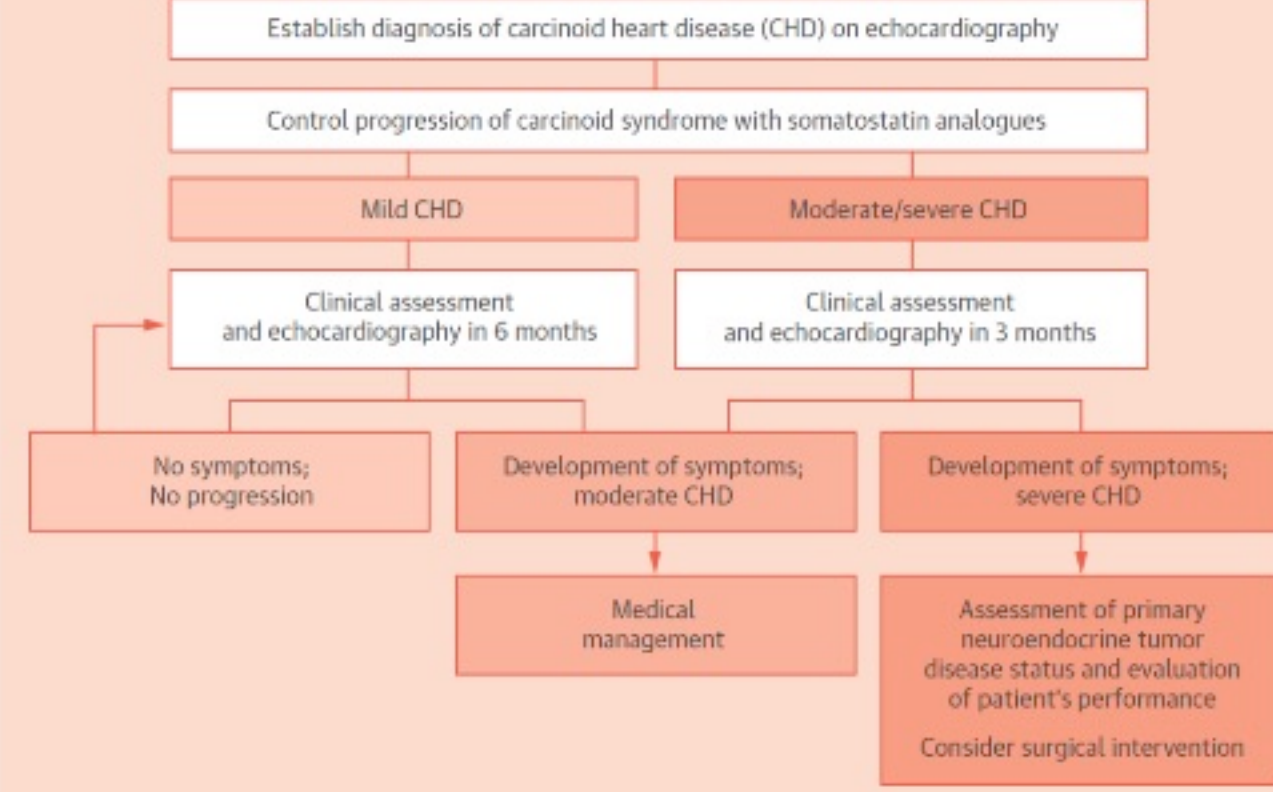
Adapted from: Kronenberg H, et al., eds. Williams Textbook of Endocrinology. 11th ed. 2008:1823-1824 and Van der Horst-Schrivers A, et al. Neuroendocrinology. 2004;80 (suppl 1):28-32.



Roma, 9-12 novembre 2017



## CENTRAL ILLUSTRATION Management Algorithm for Patients With CHD





Roma, 9-12 novembre 2017



ITALIAN CHAPTER

28-07-2017

**Biopsia epatica, previa preparazione medica, con octreotide 10 fl in 250 cc fisiologica:** quadro compatibile con metastasi da NEN a partenza verosimilmente intestinale: positività immunoistochimica per cromogranina A, sinaptofisina, CDX-2, serotonina, CD56, MNF116, CAM5,2, Ki67 < 1%



Roma, 9-12 novembre 2017

## Caso clinico 2



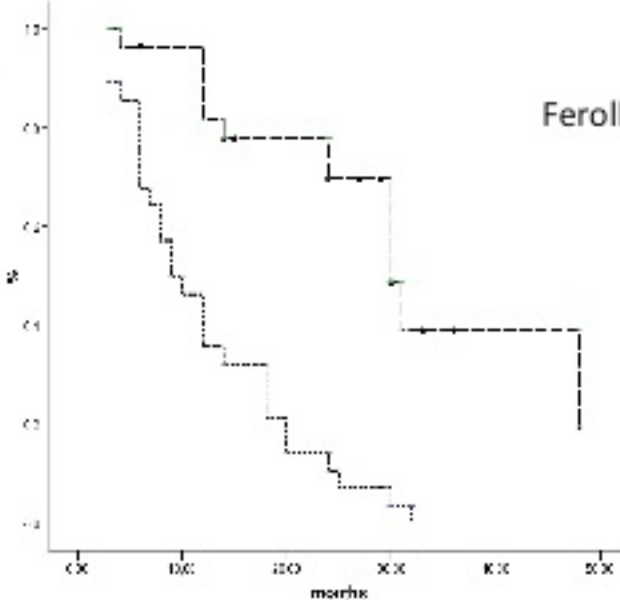
- Si modifica la terapia dell'analogo riducendo l'intervallo di somministrazione per ottimizzare la risposta clinica (normalizzare l'alvo) e biochimica; in previsione della chirurgia per escludere la presenza di una subocclusione del tenue, vista la presenza di sintomatologia dolorosa addominale saltuaria riferita dal paziente
- 27-09-2017: **CgA: 12.700 ng/ml (121.520)**  
**Acido-5 OHIA: 327 uMol/24 h (1764)**
- **Sostituzione dell'Octreotide LAR 30 mg/28 gg con Lanreotide Autogel 120 mg/21 gg (vedi scheda tecnica: indicazioni posologia octreotide)**
- Ulteriore miglioramento clinico (**alvo: 3 scariche/die**)



## Time to tumor progression after standard dose OCT-LAR treatment (point line) and high dose OCT-LAR treatment (dashed line) ( $p<0.0001$ )



ITALIAN CHAPTER



Ferolla P, Faggiano A, Grimaldi F, et al., 2010

**Conclusion:** In patients with NET in progressive disease during standard OCT-LAR dose, **a dose of 30 mg every 21 days induced control of hypersecretion-related clinical syndrome and/or re-stabilization of tumor size** in relevant percentage of cases.



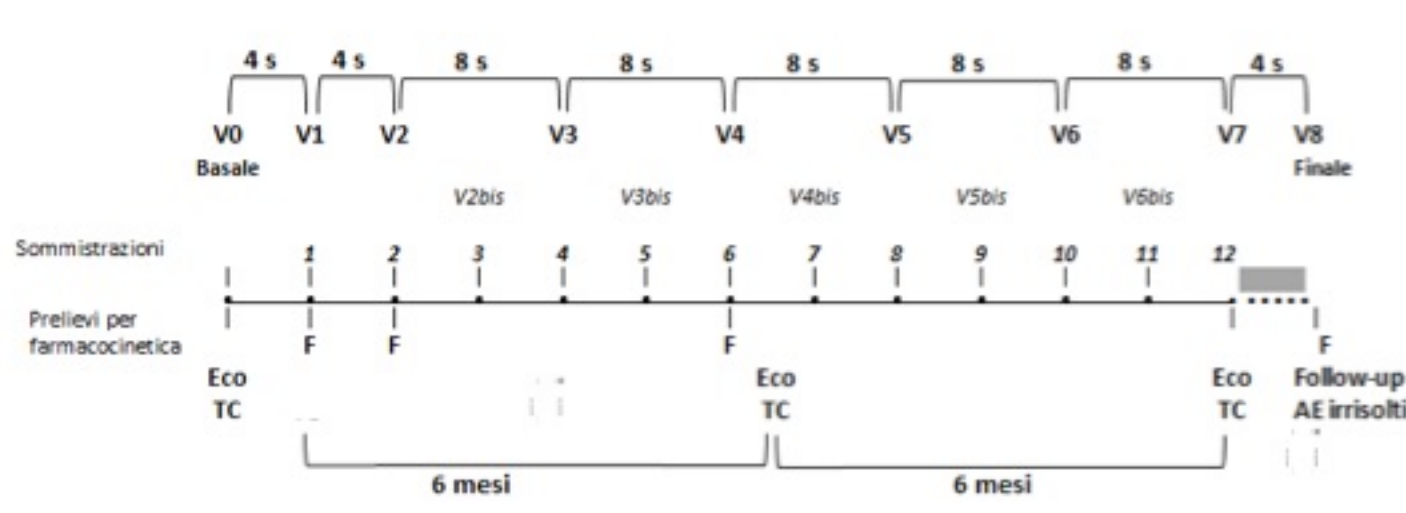
# Studio spontaneo, di fase II, multicentrico, prospettico, in aperto con singolo braccio di trattamento. Lanreotide 180 mg/28 giorni (2 iniezioni da 90 mg)



ITALIAN CHAPTER

Roma, 9-12 novembre 2017

Scientific objective	To evaluate the <b>Safety</b> of Lanreotide treatment at higher dosage of administration in NET patients in progression during standard therapeutic treatment schedule with SSAs.
Study description	Phase II, multicenter, prospective, open label, single arm study. Patients with NET in treatment with LAN 120mg/28days or OCT 30mg/28days in presence of disease progression (symptomatic, biochemical or RECIST criteria) will be shifted to receive Lanreotide 180mg every 28 days.
Sample size	<b>35 patients/ 10 centers – Promoter/Coordinator: Prof Diego Ferone (Genova)</b>





*Efficacy and safety of Lanreotide Autogel® 120 mg administered every 14 days in well differentiated, metastatic or locally advanced, unresectable pancreatic or midgut neuroendocrine tumours having progressed radiologically while previously treated with Lanreotide Autogel® 120 mg administered every 28 days*



<b>Primary Endpoint</b>	<ul style="list-style-type: none"><li>Progression-free survival (PFS), according to RECIST v1.0 criteria</li></ul>
<b>Secondary Endpoints</b>	<ul style="list-style-type: none"><li>Time to progression; Overall survival; Overall response rate (ORR); Disease control rate (DCR); Best overall response ; Change in tumor biomarker concentrations from baseline; Symptom control (diarrhea, flushing); Quality of life and safety</li></ul>



Roma, 9-12 novembre 2017

## Caso clinico 2



ITALIAN CHAPTER

- **Il paziente è in attesa di intervento chirurgico** programmato per fine novembre nel sospetto di una subocclusione
- Post chirurgia: valutata l'ottima risposta agli analoghi freddi ed all'esito della PET con Gallio 68, verrà programmata la **terapia radiorecettoriale**
- **Valutare eventuale intervento cardiochirurgico** per la valvulopatia tricuspide di grado severo



# TERAPIA PERI-OPERATORIA



Roma, 9-12 novembre 2017

## TABLE 7 Perioperative Management

1. Admission of a patient  $\geq 48$  h before surgery
2. Commencement of an octreotide infusion at the dosage of 50  $\mu\text{g}/\text{h}$  administered 12 h before the procedure, throughout the operation, and 48 h after the operation, and increased to 100-200  $\mu\text{g}/\text{h}$ , if necessary
3. Coordination of perioperative management by members of the multidisciplinary team



Roma, 9-12 novembre 2017

# Quale follow up diagnostico-terapeutico?



## ■ Quesiti:

- Proseguire con analoghi della somatostatina
- Intervento cardiochirurgico per la valvulopatia tricuspide
- **Terapia radiorecettoriale**
- Altre terapie ?
- **Controllo a lungo termine: quale imaging e timing**

**Table 1.** Therapeutic options and conditions for preferential use as first-line therapy in advanced NEN

Drug	Functionality	Grading	Primary site	SSTR status	Special considerations
Octreotide	+/-	G1	midgut	+	low tumor burden
Lanreotide	+/-	G1/G2 (-10%)	midgut, pancreas	+	low and high (>25%) liver tumor burden
IFN-alpha 2b	+/-	G1/G2	midgut		if SSTR negative
STZ/5-FU	+/-	G1/G2	pancreas		progressive in short-term* or high tumor burden or symptomatic
TEM/CAP	+/-	G2	pancreas		progressive in short-term* or high tumor burden or symptomatic; if STZ is contraindicated or not available
Everolimus	+/-	G1/G2	lung  pancreas		atypical carcinoid and/or SSTR negative  insulinoma or contraindication for CTX
Sunitinib	+/-	G1/G2	midgut  pancreas		if SSTR negative  contraindication for CTX
PRRT	+/-	G1/G2	midgut	+ (required)	extended disease; extrahepatic disease, e.g. bone metastasis
Cisplatin <sup>§</sup> / etoposide	+/-	G3	any		all poorly differentiated NEC

 CAP = Capecitabine; TEM = temozolomide. \* ≤6–12 months. <sup>§</sup> Cisplatin can be replaced by carboplatin.



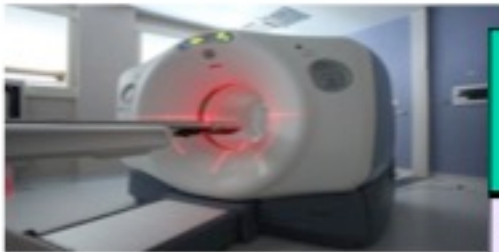
- Primary tumor localization and staging
- Restaging (detection of residual, recurrent or progressive disease)
- SSTR status evaluation (patients with high positivity are more likely to respond to octreotide therapy)
- Response to therapy monitoring
- Selection of patients for peptide receptor radionuclide therapy (PRRT)

Bombardieri E Eur J Nucl Med 2010  
Virgolini I Eur J Nucl Med 2010



Roma, 9-12 novembre 2017

# TERANOSTICA: dalla Diagnosi al Trattamento

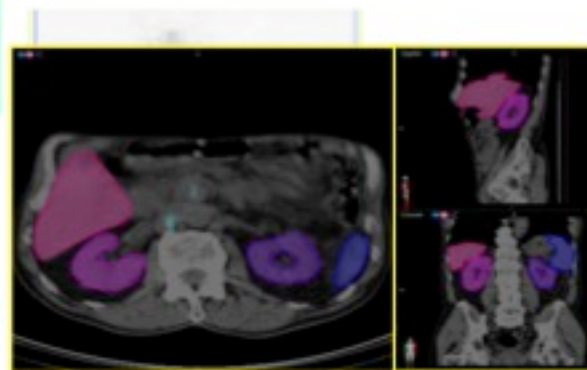


	$\beta^-$ (Mev)	$\gamma$ (Kev)	T1/2 (days)
$^{177}\text{Lu}$	0.49	110-210	6.7
$^{90}\text{Y}$	2.27		2.7



**DOTA-TOC/TATE**

Terapia  
 $^{90}\text{Y}$  /  $^{177}\text{Lu}$





# Peptide Receptor Radionuclide Therapy (PRRT)



ITALIAN CHAPTER

Roma, 9-12 novembre 2017

Author	Year	Radiopharmaceutical	N° Pts.	Primary NET	Response (%)				
					CR	PR	MR	SD	PD
Waldherr	2001	90Y-DOTATOC	41	GEP+lung	2	22	12	49	15
Waldherr	2002	90Y-DOTATOC	39	GEP+lung	5	18	-	65	11
Valkema	2006	90Y-DOTATOC	58	GEP	0	9	12	61	19
Kwekkeboom	2008	177Lu-DOTATATE	310	GEP	2	28	16	35	20
Bodei	2011	177Lu-DOTATATE	51	GEP+lung	2	27	26	27	18
Filice	2012	90Y/177Lu-DOTATOC	59	GEP+lung	2	40	-	40	18
Vinjamuri	2013	90Y-DOTATOC	57	GEP+lung	-	25	-	47	28
Mariniello	2015	90Y/177Lu DOTATOC	117	Lung	0	13	13	41	33



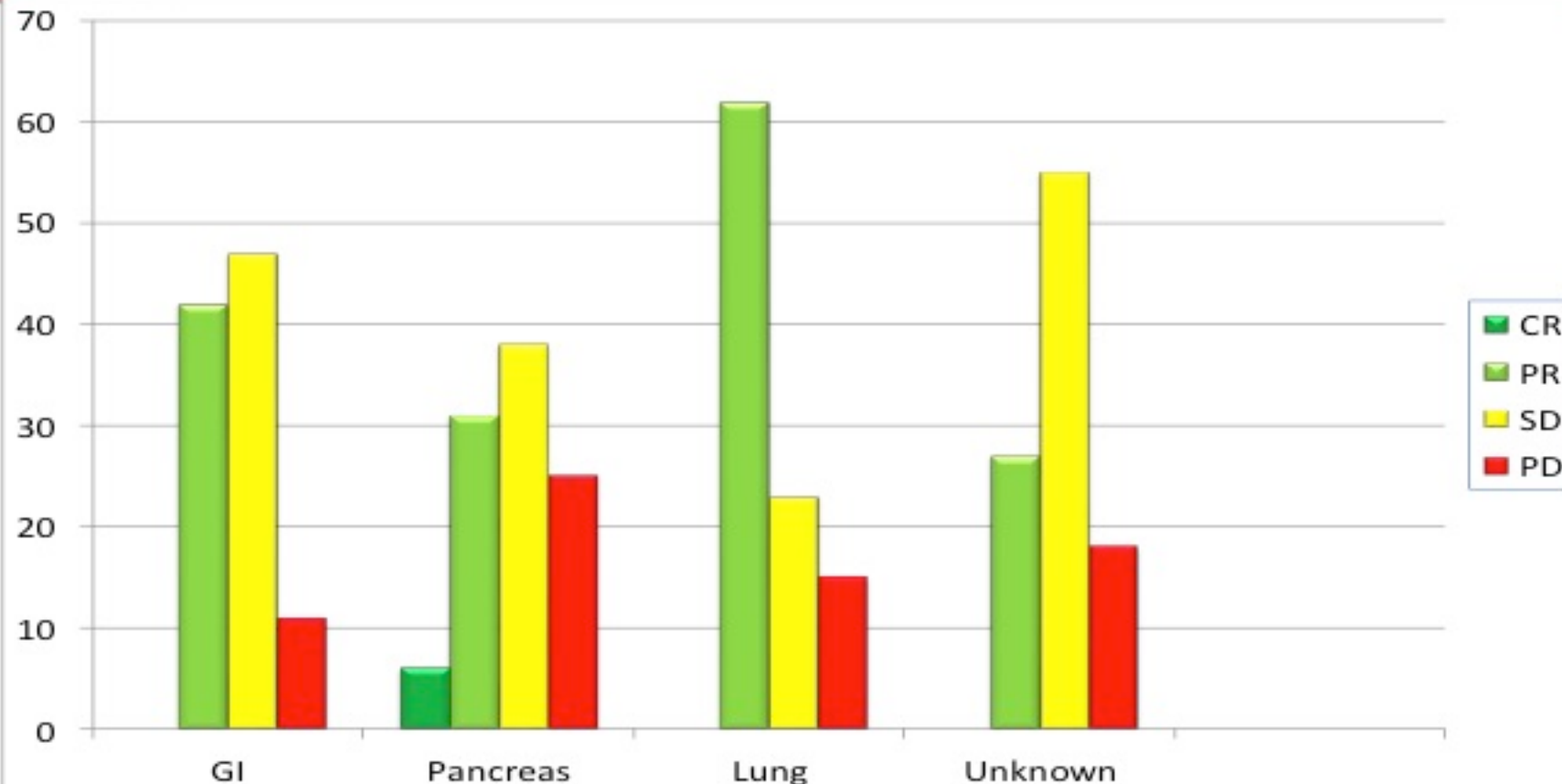
PRRT 59 pts

A. Filice et al, J of Oncology 2012



Roma, 9-12 novembre 2017

ITALIAN CHAPTER



# Peptide receptor radionuclide therapy with $^{177}\text{Lu}$ -DOTATATE: the IEO phase I-II study

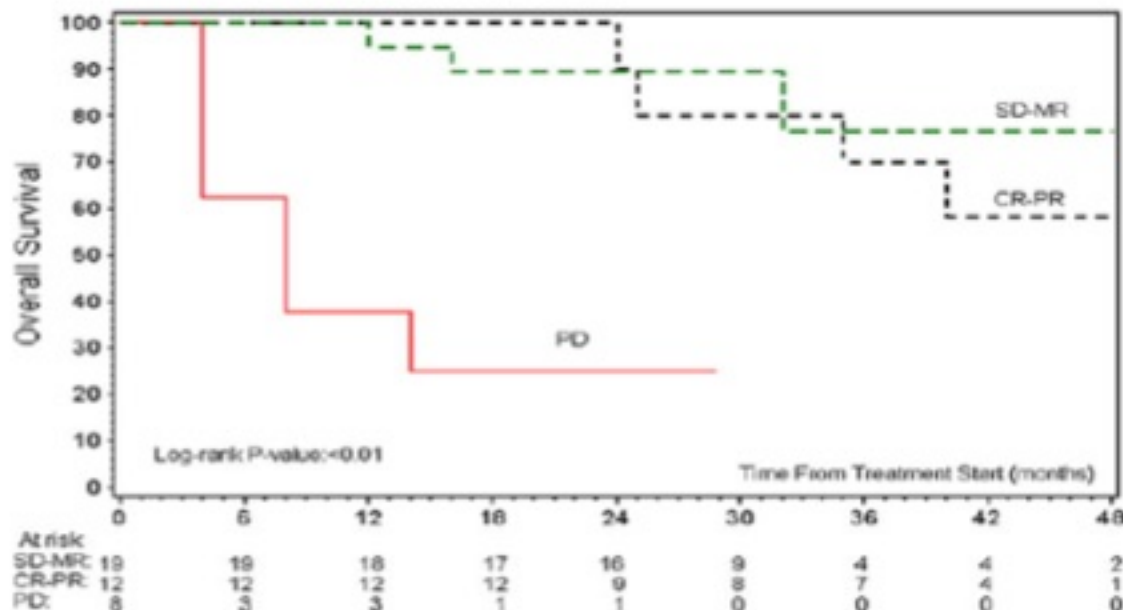
Roma, 9-

Lisa Bodei · Marta Cremonesi · Chiara M. Grana · Nicola Fazio · Simona Iodice ·  
Silvia M. Baio · Mirco Bartolomei · Dario Lombardo · Mahila E. Ferrari ·  
Maddalena Sansovini · Marco Chinol · Giovanni Paganelli

2134

Eur J Nucl Med Mol Imaging (2011) 38:2125–2135

**Fig. 5** Overall survival in progressing patients at baseline. From a prognostic point of view, stabilizations and objective responses showed the same survival probability



## GEP-NETs UPDATE

# Radionuclide therapy in neuroendocrine tumors

Wouter A van der Zwan, Lisa Bodei<sup>1</sup>, Jan Mueller-Brand<sup>2</sup>, Wouter W de Herder,  
Larry K Kvols<sup>3</sup> and Dik J Kwekkeboom

Correspon

European Journal of  
Endocrinology  
2015

**Table 3** Long-term toxicity in patients with neuroendocrine tumors, treated with different radiolabeled somatostatin analogs.

Center (reference)	Ligand	n	FU	Toxicity		
				Creatinine	MDS	Leukemia
Milan (13)	[ <sup>90</sup> Y-DOTA <sup>0</sup> ,Tyr <sup>3</sup> ]octreotide	40	19	10% Grade 1	0	0
Basel (14)	[ <sup>90</sup> Y-DOTA <sup>0</sup> ,Tyr <sup>3</sup> ]octreotide	41	15	0	0	0
Basel (15, 41)	[ <sup>90</sup> Y-DOTA <sup>0</sup> ,Tyr <sup>3</sup> ]octreotide	39	6	3% Grade 2	0	0
Multicenter (1)	[ <sup>90</sup> Y-DOTA <sup>0</sup> ,Tyr <sup>3</sup> ]octreotide	58	18	3% Grade 4	1	0
Basel (16)	[ <sup>90</sup> Y-DOTA <sup>0</sup> ,Tyr <sup>3</sup> ]octreotide	31	12	12.9% Grade 3/4 <sup>a</sup>	0	0
Copenhagen (3)	[ <sup>90</sup> Y-DOTA <sup>0</sup> ,Tyr <sup>3</sup> ]octreotide	53	17	0	1	0
Basel (8)	[ <sup>90</sup> Y-DOTA <sup>0</sup> ,Tyr <sup>3</sup> ]octreotide	1109	23	9.2% Grade 3/4 <sup>a</sup>	1	1
Rotterdam (5)	[ <sup>177</sup> Lu-DOTA <sup>0</sup> ,Tyr <sup>3</sup> ]octreotate	504	19	0.4% Grade 4	3	0
Milan (10)	[ <sup>177</sup> Lu-DOTA <sup>0</sup> ,Tyr <sup>3</sup> ]octreotate	51	29	24% Grade 1	0	0

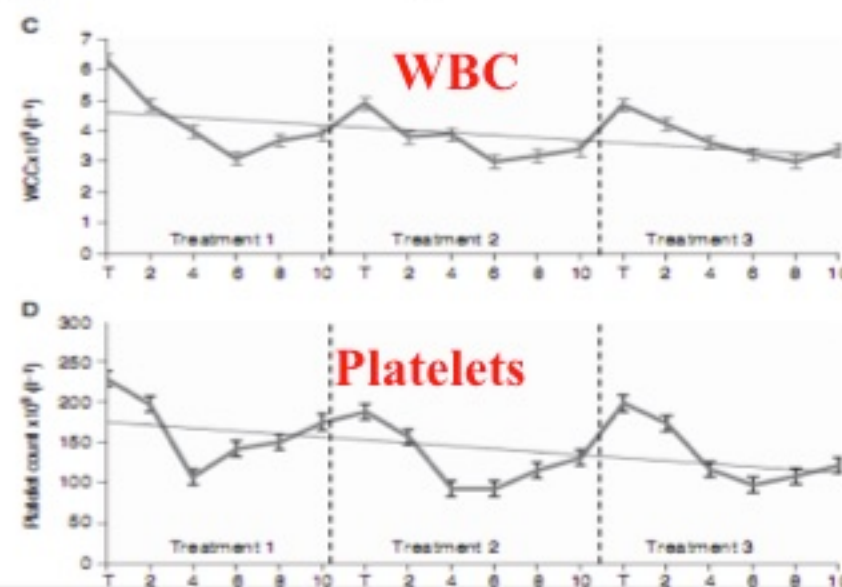
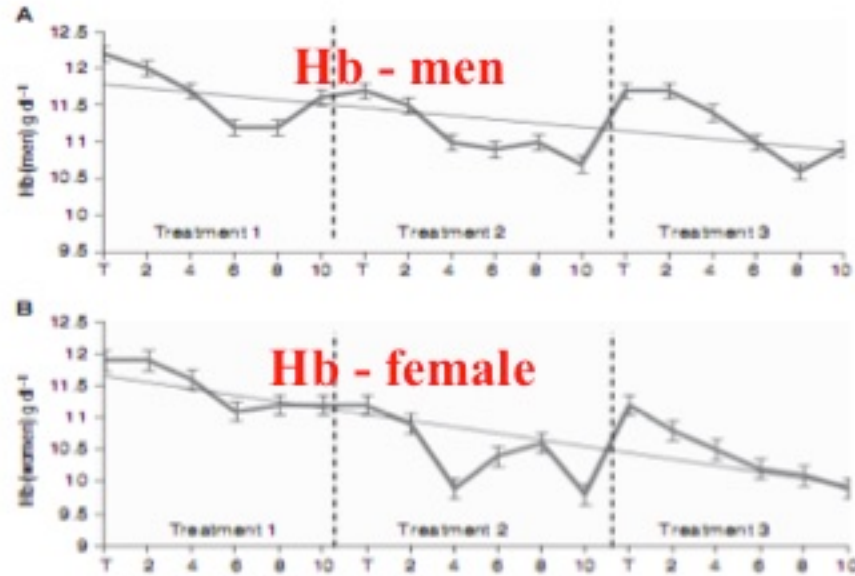
FU, follow-up; MDS, myelodysplastic syndrome. Grades pertain to World Health Organization (WHO) classification.

<sup>a</sup>Toxicity based on glomerular filtration rate.

Roma, 9-12 novembre 2017

S Vinjamuri<sup>1,8</sup>, T M Gilbert<sup>2,8</sup>, M Banks<sup>3</sup>, G McKane<sup>1</sup>, P Maltby<sup>1</sup>, G Poston<sup>3</sup>, H Weissman<sup>4</sup>, D H Palmer<sup>5</sup>, J Vora<sup>6</sup>, D M Pritchard<sup>7</sup> and D J Cuthbertson<sup>\*2</sup>

## PRRT - Hematological toxicity



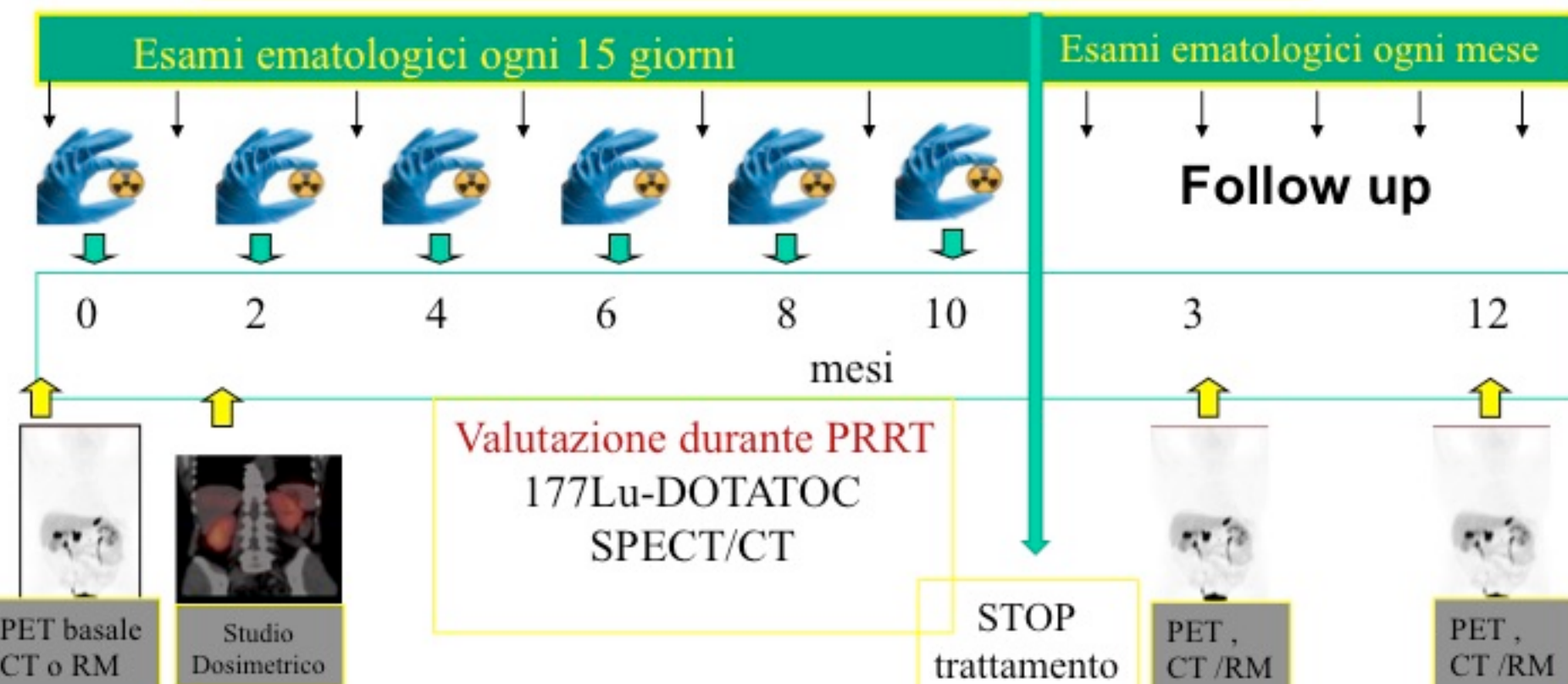


Roma, 9-12 novembre 2018

# Terapia Radiorecettoriale

## Protocollo DOTATER1

### Procedura di Reggio Emilia





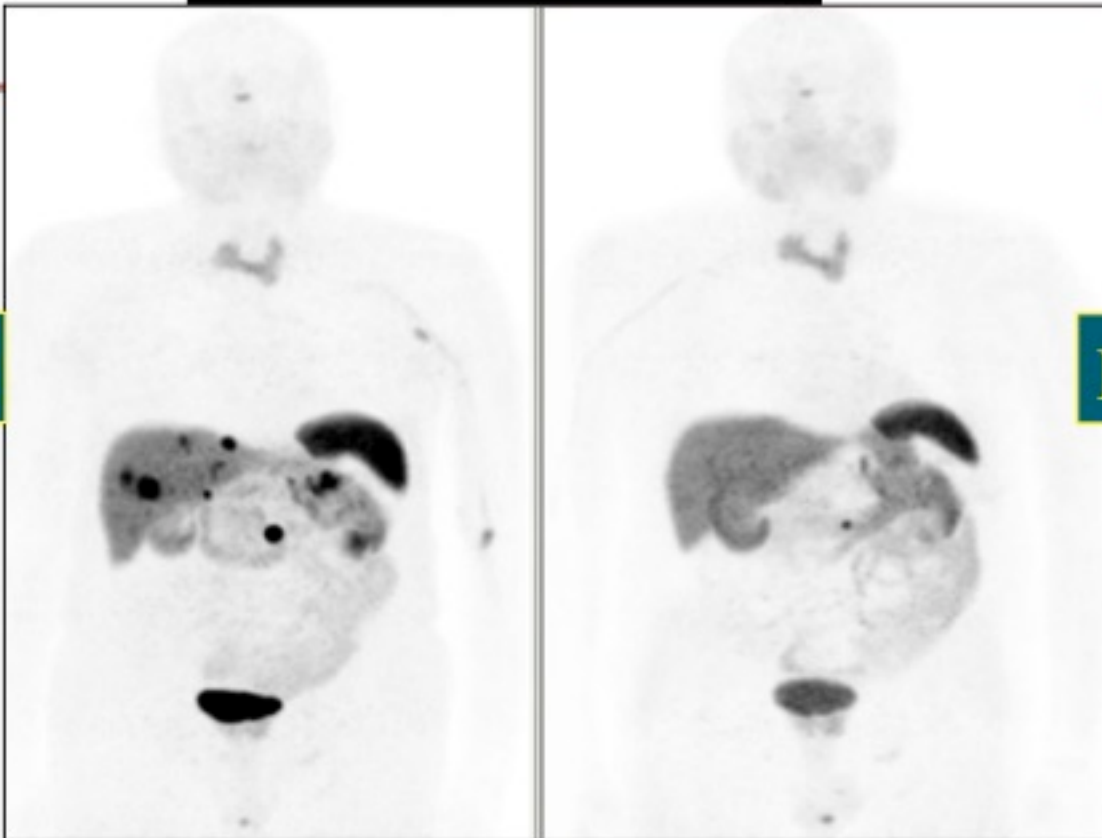
Roma, 9-12 novembre 2017

## $^{68}\text{Ga}$ -DOTATATE PET/CT



ITALIAN CHAPTER

Pre-terapia



Post-terapia

M, 73 y: NET pancreatico con metastasi epatiche  
2 cicli di  $^{90}\text{Y}$  e 4 cicli di  $^{177}\text{Lu}$ . PR



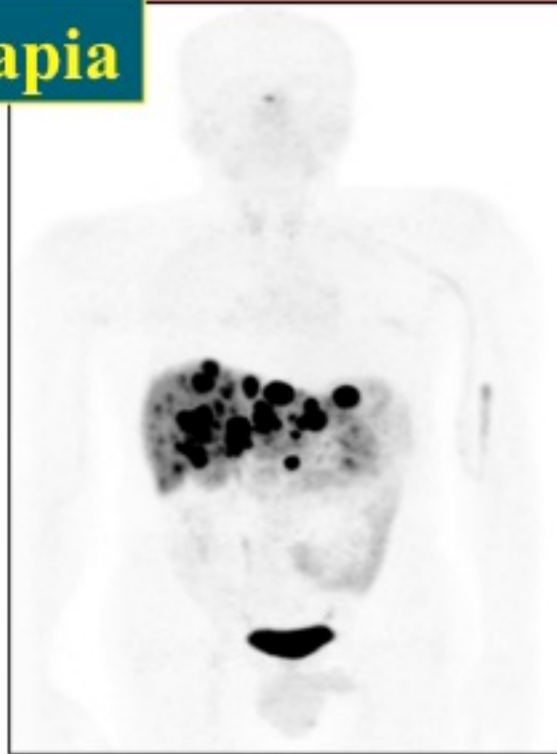
## 68Ga-DOTATOC PET/CT



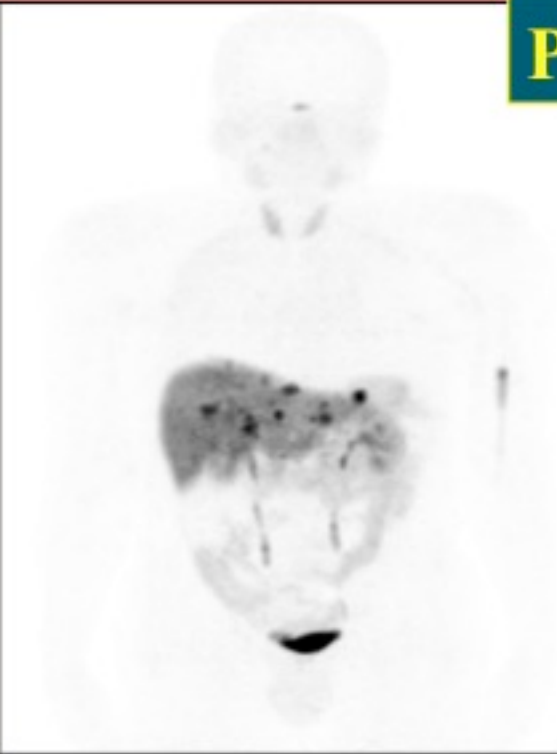
ITALIAN CHAPTER

Roma, 9-12 novembre 2017

Pre-terapia



Post-terapia



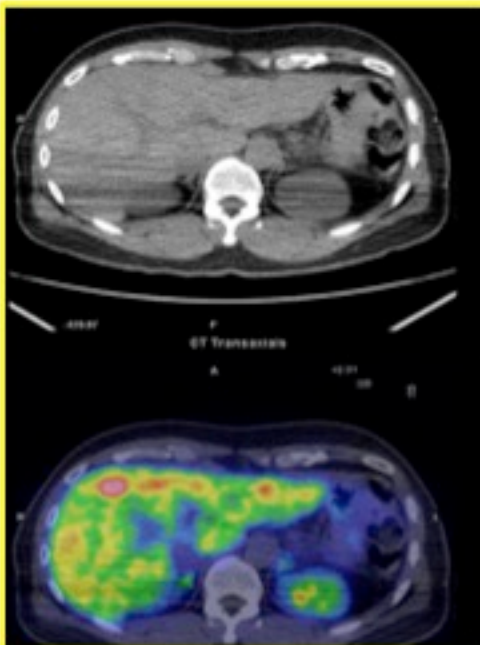
M, 56 aa: NET pancreatico con metastasi epatiche  
4 cicli di 90Y e 1 ciclo di 177Lu. PR



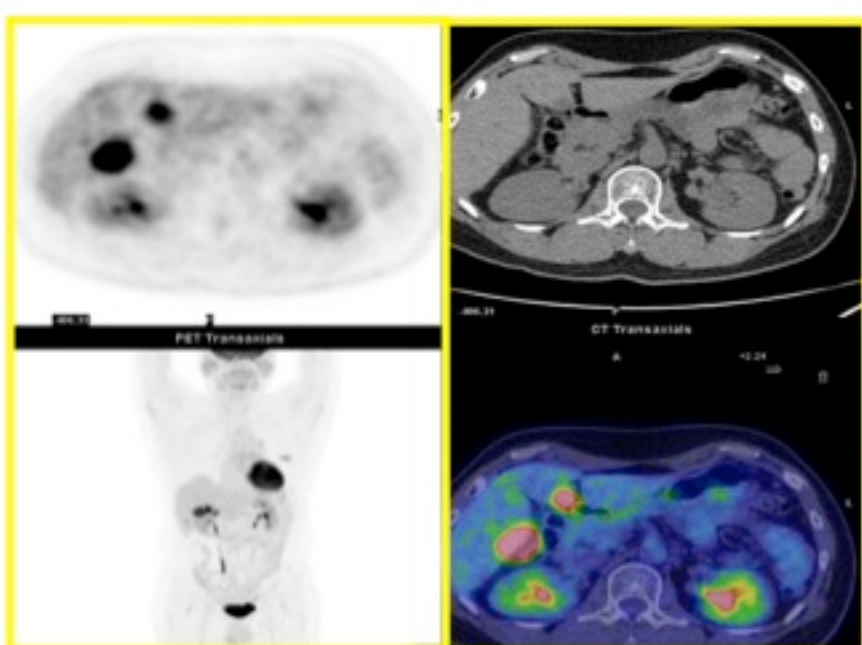
Roma, 9-12 novembre 2017



ITALIAN CHAPTER



**68Ga-DOTATOC**



**FDG-PET/CT**

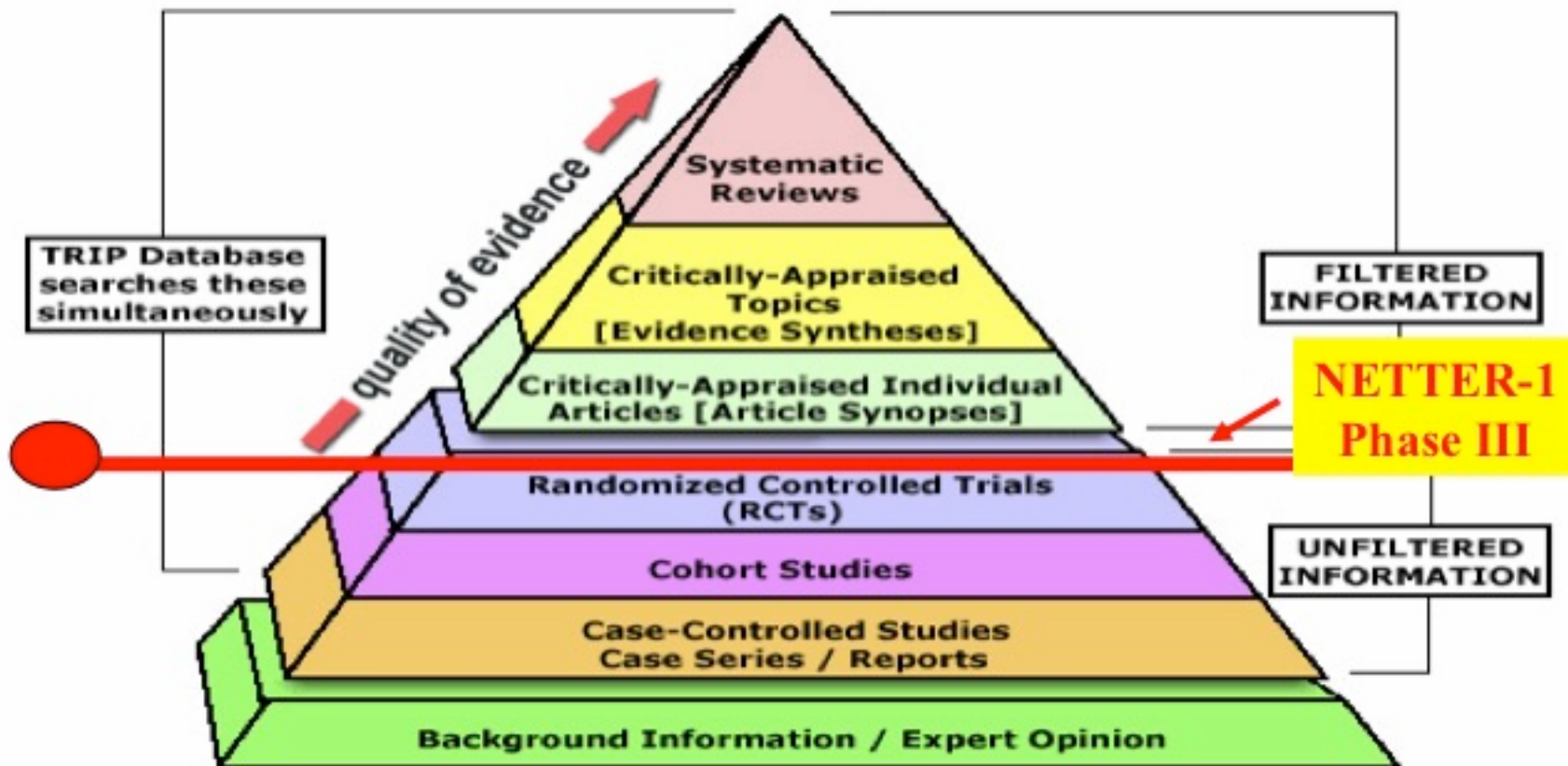


# PRRT and EBM



Roma, 9-12 novembre 2017

ITALIAN CHAPTER





The NEW ENGLAND JOURNAL of MEDICINE

ORIGINAL ARTICLE

## Phase 3 Trial of $^{177}\text{Lu}$ -Dotatate for Midgut Neuroendocrine Tumors

J. Strosberg, G. El-Haddad, E. Wolin, A. Hendifar, J. Yao, B. Chasen, E. Mittra,  
P.L. Kunz, M.H. Kulke, H. Jacene, D. Bushnell, T.M. O'Dorisio, R.P. Baum,  
H.R. Kulkarni, M. Caplin, R. Lebtahi, T. Hobday, E. Delpassand, E. Van Cutsem,  
A. Benson, R. Srirajaskanthan, M. Pavel, J. Mora, J. Berlin, E. Grande, N. Reed,  
E. Seregni, K. Öberg, M. Lopera Sierra, P. Santoro, T. Thevenet, J.L. Erion,  
P. Ruszniewski, D. Kwekkeboom, and E. Krenning, for the NETTER-1 Trial Investigators\*



# NETTER -1 Study Objectives and Design



ITALIAN CHAPTER

Roma, 9-12 novembre 2017

## Aim

Evaluate the **efficacy and safety** of  $^{177}\text{Lu}$ -Dotatate + SSAs (symptoms control) compared to Octreotide LAR 60 mg (off-label use)<sup>1</sup> in patients with inoperable, somatostatin receptor positive, **midgut NET**, progressive under Octreotide LAR 30 mg (label use)

## Design

International, multicenter, randomized, comparator-controlled, parallel-group

### Treatment and Assessments

Progression free survival (Recist criteria) every 12 weeks

Dose 1 Dose 2 Dose 3 Dose 4

## Baseline and Randomization

n = 111

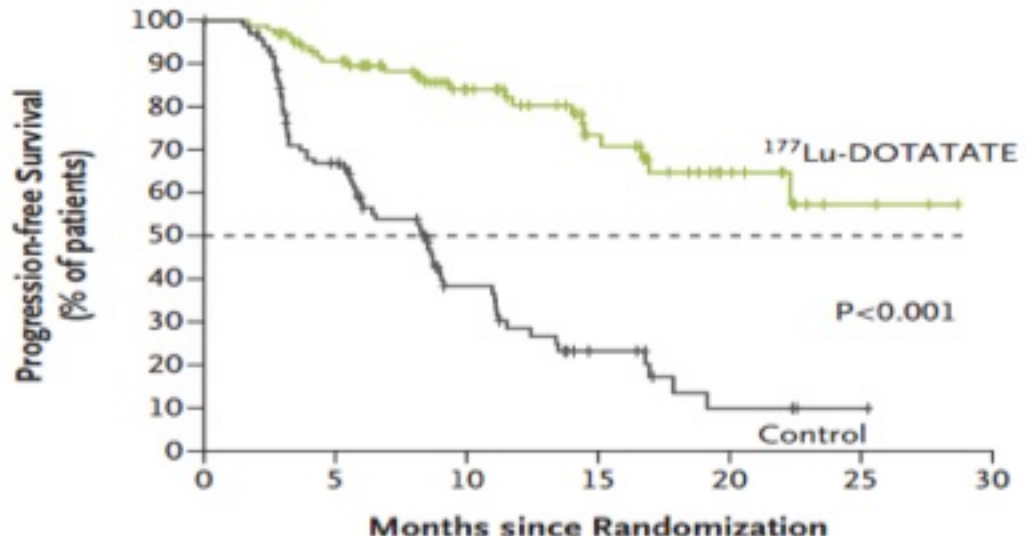
n = 110

4 administrations of 7.4 GBq of  $^{177}\text{Lu}$ -Dotatate every 8 weeks + SSAs (symptoms control)

Octreotide LAR (high dose - 60mg every 4 weeks<sup>1</sup>)

5 Years follow up

1. FDA and EMA recommendation

Phase 3 Trial of  $^{177}\text{Lu}$ -Dotatate for Midgut Neuroendocrine Tumors**A Progression-free Survival**

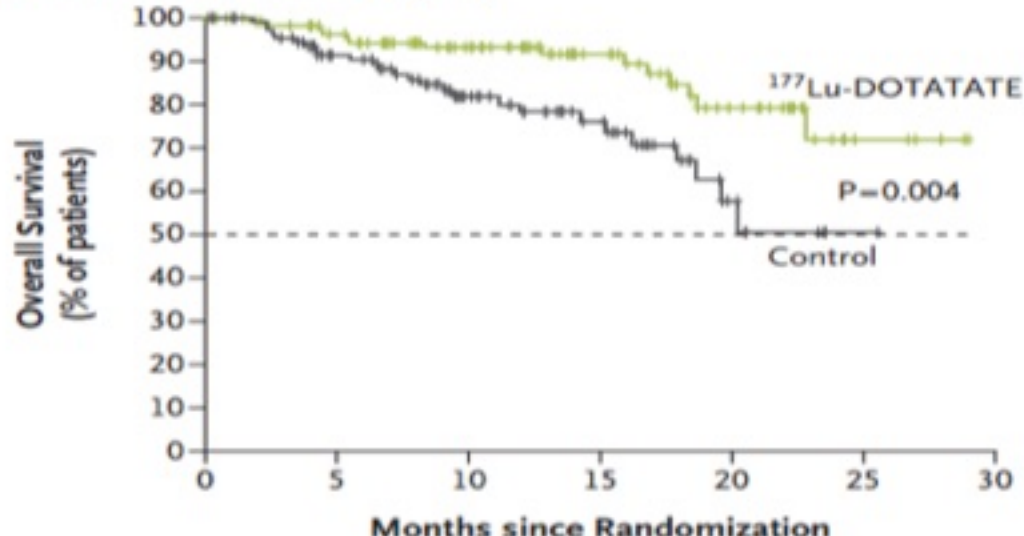
**79% reduction in the risk of disease progression/death**

Estimated Median PFS in the  $^{177}\text{Lu}$ -Dotatate arm  
 **$\approx 40$  months**

Median PFS  
**Control arm: 8.4 months**

**No. at Risk**

$^{177}\text{Lu}$ -DOTATATE group	116	97	76	59	42	28	19	12	3	2	0
Control group	113	80	47	28	17	10	4	3	1	0	0

Phase 3 Trial of  $^{177}\text{Lu}$ -Dotatate for Midgut Neuroendocrine Tumors**B Overall Survival (Interim Analysis)****No. at Risk**

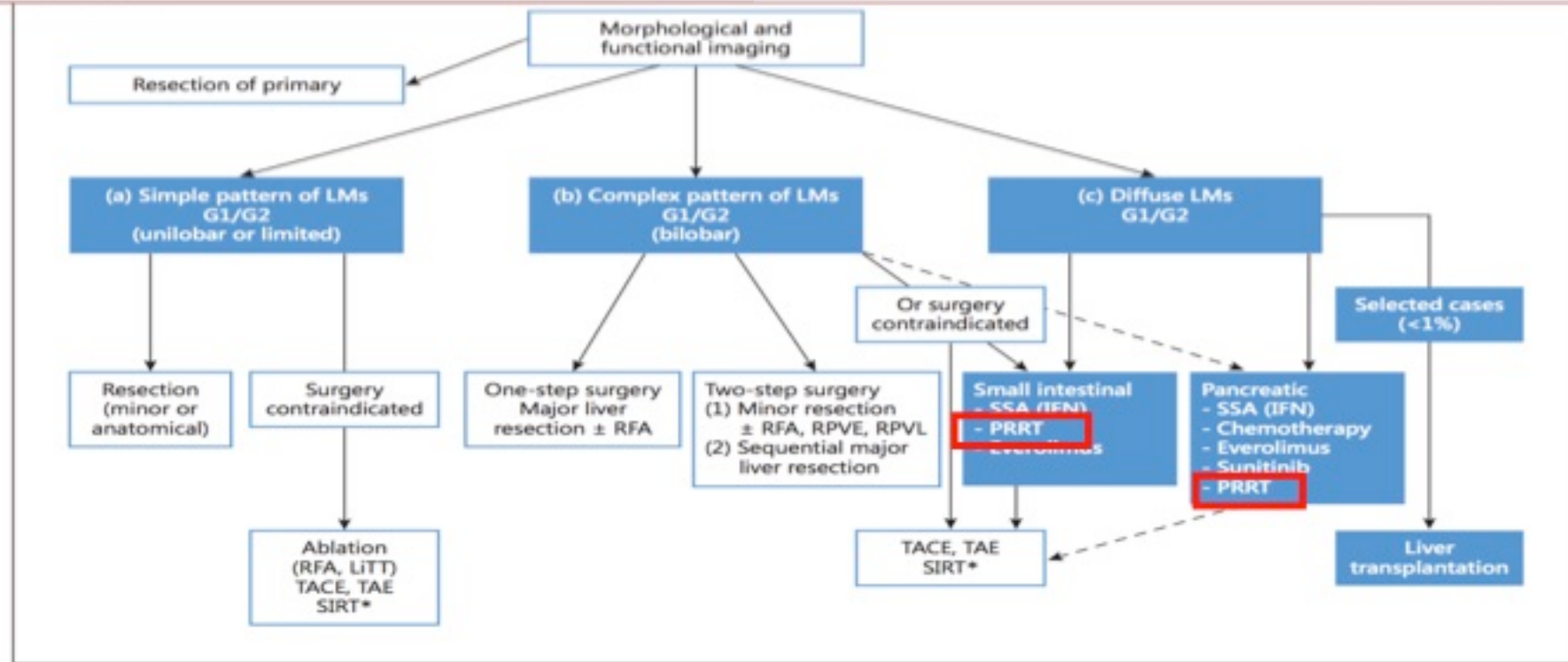
	116	108	96	79	64	47	31	21	8	3	0
group											
Control group	113	103	83	64	41	32	17	5	1	0	0

Phase 3 Trial of  $^{177}\text{Lu}$ -Dotatate for Midgut Neuroendocrine Tumors**Table 3.** Overview of Adverse Events (Safety Population).<sup>\*</sup>

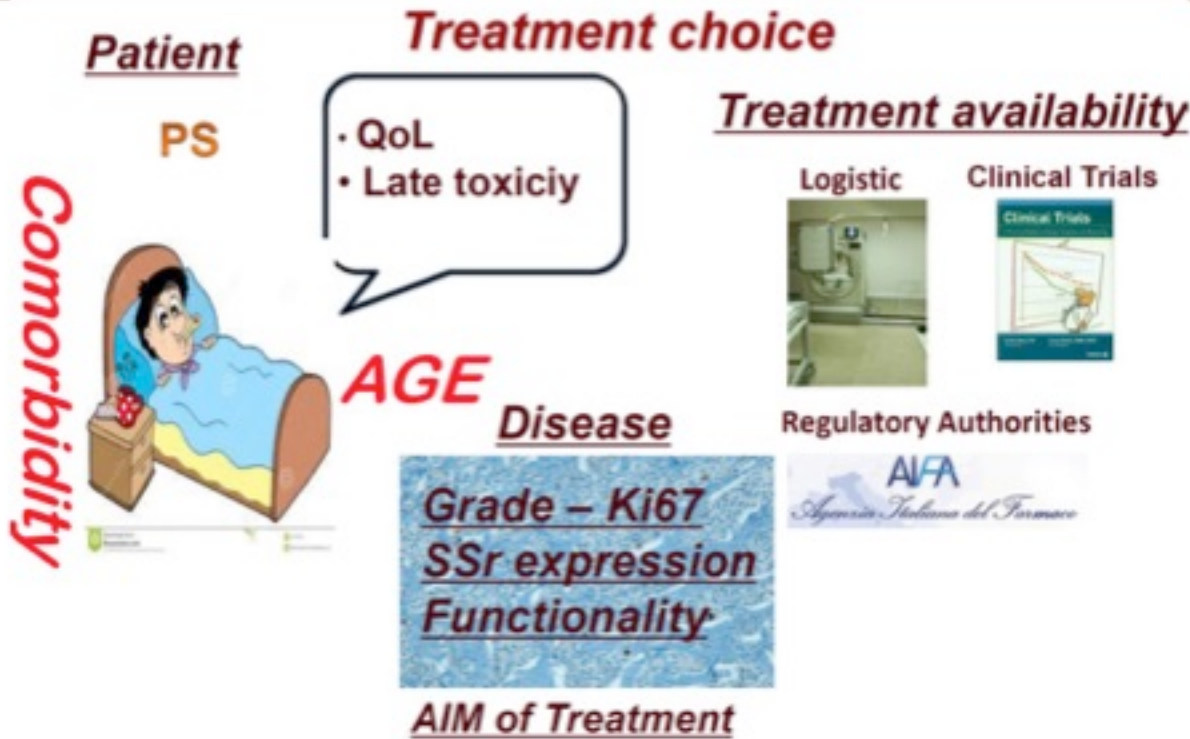
Event	$^{177}\text{Lu}$ -Dotatate Group (N = 111)	Control Group (N = 110)	P Value†	number of patients (percent)	
				number of patients (percent)	number of patients (percent)
<b>Adverse event</b>					
Any	106 (95)	95 (86)	0.02		
Related to treatment	95 (86)	34 (31)	<0.001		
<b>Serious adverse event</b>					
Any	29 (26)	26 (24)	0.76		
Related to treatment	10 (9)	1 (1)	0.01		
<b>Withdrawal from trial because of adverse event</b>					
Because of any adverse event	7 (6)	10 (9)	0.46		
Because of adverse event related to treatment	5 (5)	0	0.06		

\* The safety population included all patients who underwent randomization and received at least one dose of trial treatment.

† P values were calculated with the use of Fisher's exact test.



**Fig. 1.** Management of liver metastases without extrahepatic disease in G1/G2 NEN. \* SIRT (selective internal radiation therapy) is still an investigational method. LiTT = Laser-induced thermotherapy; LMs = liver metastases; RFA = radiofrequency ablation; RPVE = right portal vein embolization; RPVL = right portal vein ligation; TACE = transarterial chemoembolization; TAE = transarterial embolization.





## Cardiotossicità dei farmaci utilizzati nei NEN



ITALIAN CHAPTER

Roma, 9-12 novembre 2017

Farmaco	Cardiotossicità
Octreotide	Non segnalata
Lanreotide	Non segnalata
Everolimus	Ipertensione , dislipidemia ACE inibitori (angioedema) CYP3A4, PgP (diltiazem > esp) Scompenso congestizio (< 1%)
Sunitinib	CYP3A4 Ipertensione severa (4-12%) Ischemia miocardica (>1/100) < LVEF (2-4%) > QT (1.1%)
Temozolomide	Ipopotassiemia
Capecitabina	Aritmia, torsione di punta, bradicardia, angina, infarto miocardico acuto, insufficienza cardiaca, cardiomiopatia

## ENETS Consensus Recommendations for the Standards of Care in Neuroendocrine Neoplasms: Follow-Up and Documentation

**Table 1.** Tumor-specific recommendations for follow-up (in most cases life-long)

Organ	Status	F-U	Every	CgA	Markers <sup>a</sup>	Endoscopy	CT/MRI/US <sup>b</sup>	SRF <sup>c</sup>	FDG-PET	Comments
<i>Small intestine</i>										
G1-G2	curatively resected	yes	6–12 m	yes	5-HIAA	no	6–12 m	24 m <sup>e</sup>		
G1-G2	residual tumor or metastases	yes	3–6 m	yes	5-HIAA	no	3–6 m	12 m <sup>e</sup>		in patients with carcinoid syndrome: NT-pro-BNP and echocardiography at least yearly
G3 NEC/ NET	resected/ nonresected	yes	3 m	yes <sup>d</sup>	relevant tumor hormones <sup>i</sup>	no	2–3 m	12– 24 m <sup>e,f</sup>	12– 24 m <sup>l</sup>	in patients with carcinoid syndrome: NT-pro-BNP and echocardiography at least yearly



# THM



ITALIAN CHAPTER

Roma, 9-12 novembre 2017

J Endocrinol Invest (2014) 37:875–909  
DOI 10.1007/s40618-014-0119-0

2014

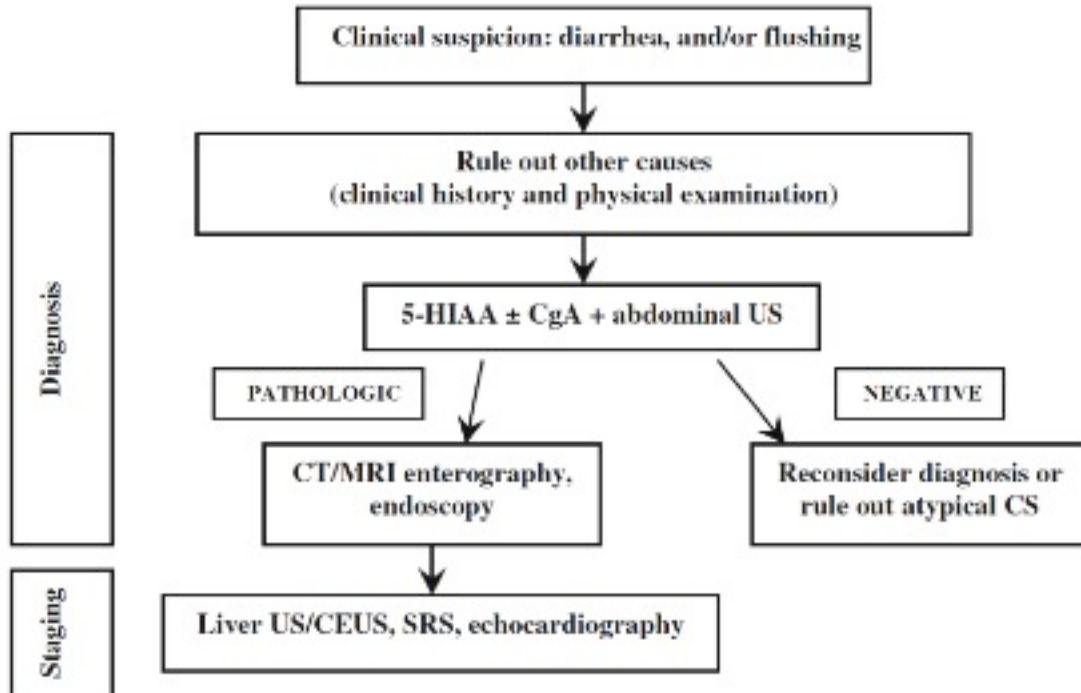
POSITION STATEMENT

## **Italian Association of Clinical Endocrinologists (AME) position statement: a stepwise clinical approach to the diagnosis of gastroenteropancreatic neuroendocrine neoplasms**

Franco Grimaldi · Nicola Fazio · Roberto Attanasio · Andrea Frasoldati · Enrico Papini · Francesco Angelini · Roberto Baldelli · Debora Berretti · Sara Bianchetti · Giancarlo Bizzarri · Marco Caputo · Roberto Castello · Nadia Cremonini · Anna Crescenzi · Maria Vittoria Davì · Angela Valentina D'Elia · Anton Giulio Faggiano · Stefano Pizzolitto · Annibale Versari · Michele Zini · Guido Rindi · Kjell Öberg



**Fig. 9** Diagnostic flow-chart for suspected carcinoid syndrome





# THM



Roma, 9-12 novembre 2017

ITALIAN CHAPTER



2017

## **Italian Association of Clinical Endocrinologists (AME) and Italian AACE Chapter Position Statement for Clinical Practice: Assessment of Response to Treatment and Follow-Up in Gastroenteropancreatic Neuroendocrine Neoplasms**

Franco Grimaldi<sup>1\*</sup>, Nicola Fazio<sup>2\*</sup>, Roberto Attanasio<sup>3</sup>, Andrea Frasoldati<sup>4</sup>, Enrico Papini<sup>5</sup>, Nadia Cremonini<sup>6</sup>, Maria Vittoria Davi<sup>7</sup>, Luigi Funicelli<sup>8</sup>, Sara Massironi<sup>9</sup>, Francesca Spada<sup>2</sup>, Vincenzo Toscano<sup>10</sup>, Annibale Versari<sup>11</sup>, Michele Zini<sup>4</sup>, Massimo Falconi<sup>12</sup>, Kjell Öberg<sup>13</sup>



Roma, 9-12 novembre 2017

# SOC Endocrinologia e Malattie del Metabolismo Nutrizione Clinica



SOS Diabetologia

Endocrinologia

Nutrizione Clinica

